## **RICERCA BIBLIOGRAFICA COVID 19**

## **SETTIMANA 06-12.07.2020**

## FONDAZIONE POLICLINICO UNIVERSITARIO A. GEMELLI IRCCS, UOC MALATTIE INFETTIVE

## DR. ARTURO CICCULLO

AUTORE/RIVISTA	TITOLO	OUTCOME PRINCIPALE	PUNTI ESSENZIALI
Oscanoa TJ et al International Journal of Antimicrobial Agents <a href="https://doi.org/10.1016/j.ijantimicag.2020.106078">https://doi.org/10.1016/j.ijantimicag.2020.106078</a>	A pharmacological perspective of Chloroquine in SARS-CoV-2 infection	Revisione critica del ruolo di clorochina (CQ) ed idrossiclorochina (HCQ) sull'infezione da SARS COV-2	CQ/HCQ svolge la sua attività antivirale attraverso i seguenti meccanismi: 1) prevenzione dell'entrata virale nelle cellule. CQ altera il PH degli endosomi ed ha un effetto inibitorio sull'infezione virale. 2) alterata replicazione virale; 3) inizbizione della autofagia; 4) attività immunomodulante (si sfrutta questa attività per il trattamento di malattie reumatiche). In aggiunta all'attività antivirale, c'è anche una attività anticoagulante segnalata fin dagli anni '60 con inibizione della via alternativa del complemento abrogando la coagulazione del plasma attraverso il cloriuro di calcio e la clorina. Può esistere anche una attività di CQ/HCQ sul recettore ACE2 inducendo l'espressione di ACE2 subglicosilata. Nel lavoro vengono rivisti in maniera dettagliata gli studi sia in vitro che in vivo che riguardano CQ/HCQ con riferimento sia all'efficacia che alla tossicità. In particolare, per quanto attiene la tossicità cardiaca, si suggerisce un monitoraggio attento e costante dei pazienti

			interapia. Interessante anche l'analisi del posizionamento di CQ/HCQ nelle varie linee guida mondiali.  **Thibition of CQ-HH-Q
Lemaitre F et al  Fundam Clin Pharmacol <a href="https://doi.org/10.1111/f">https://doi.org/10.1111/f</a> <a href="cp.12586">cp.12586</a>	Potential drug-drug interactions associated with drugs currently proposed for COVID-19 treatment in patients receiving other treatments	Review sui potenziali o dimostrati rischi di co- somministrazione di farmaci per malattie croniche nel corso del trattamebnto per COVID 19	Si tratta di una revisione critica con finalità anche pratiche per fornire utili indicazioni sulla compatibilità o meno di somministrazione di farmaci a pazienti con malattie croniche che svulippano COVID 19 e che per questo sono sottoposti a varie terapie. Si segnalano una vasta letteratura revisionata ed una completa tabella con utili indicazioni circa le interazioni tra varie classi di farmaci.

Feixiong Cheng et al.  Cleveland Clinic Journal of Medicine  https://doi.org/10.3949/ccjm.87a.ccc037	COVID-19 Treatment: Combining Anti- Inflammatory and Antiviral Therapeutics Using a Network-Based Approach	Ipotesi nuovo trattamento farmacologico con melatonina e toremifene.	Gli autori ipotizzano che un trattamento farmacologico combinato a base di melatonina e il toremifene potrebbe fornire un'efficace strategia terapeutica per mitigare la gravità di COVID-19 ridecendo l'infezione virale e la replicazione e le aberranti risposte infiammatorie dell'ospite.  SARS-COV-2  The medicinal history of melatonin  Josepholis (i.e., Il.6, I.13, TNFG, etc.)  REGULTIONE (i.e., Il.6, I.13, TNFG, etc.)  Melatonin, a synthesized hormone, originated about 2.5 billion years ago and is evolutionarily conserved in all organisms from bacteria to humans. Melatonin exerts its antiviral activities by suppressing multiple inflammatory pathways, including Il.6, Il.1β, and TNFα, which are directly relevant given the lung injury characteristics of severe COVID-19. Toremifene, a selective estrogen receptor modulator FDA-approved to treat advanced breast cancer, has shown various antiviral activities against the Ebola virus, MRES-CoV, SARS-CoV-1, and SARS-CoV-2. Thus, the synergistic antiviral and anti-inflammatory effects of melatonin and toremifene offer a candidate treatment approach for COVID-19.
--	--	--	---

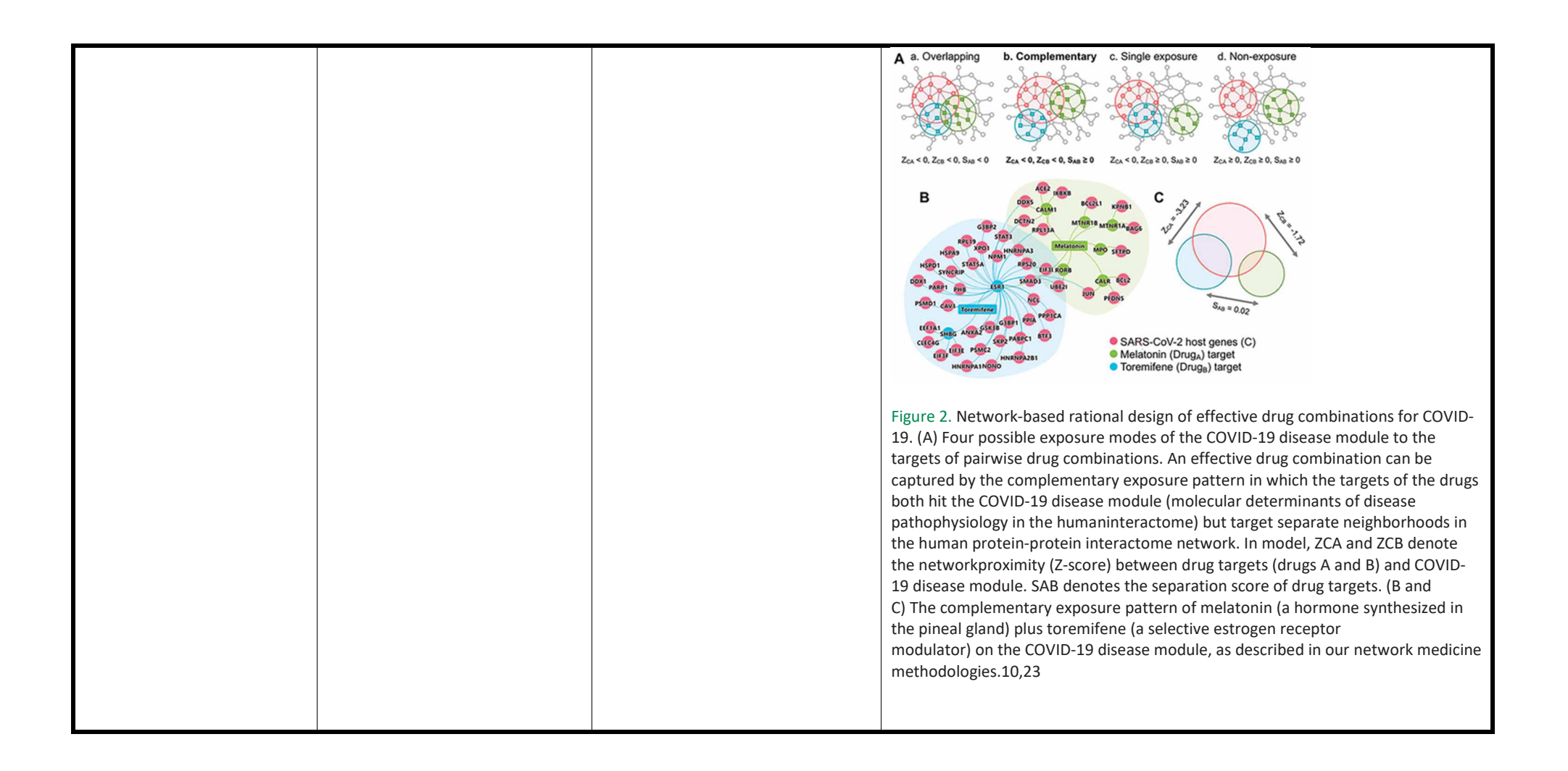


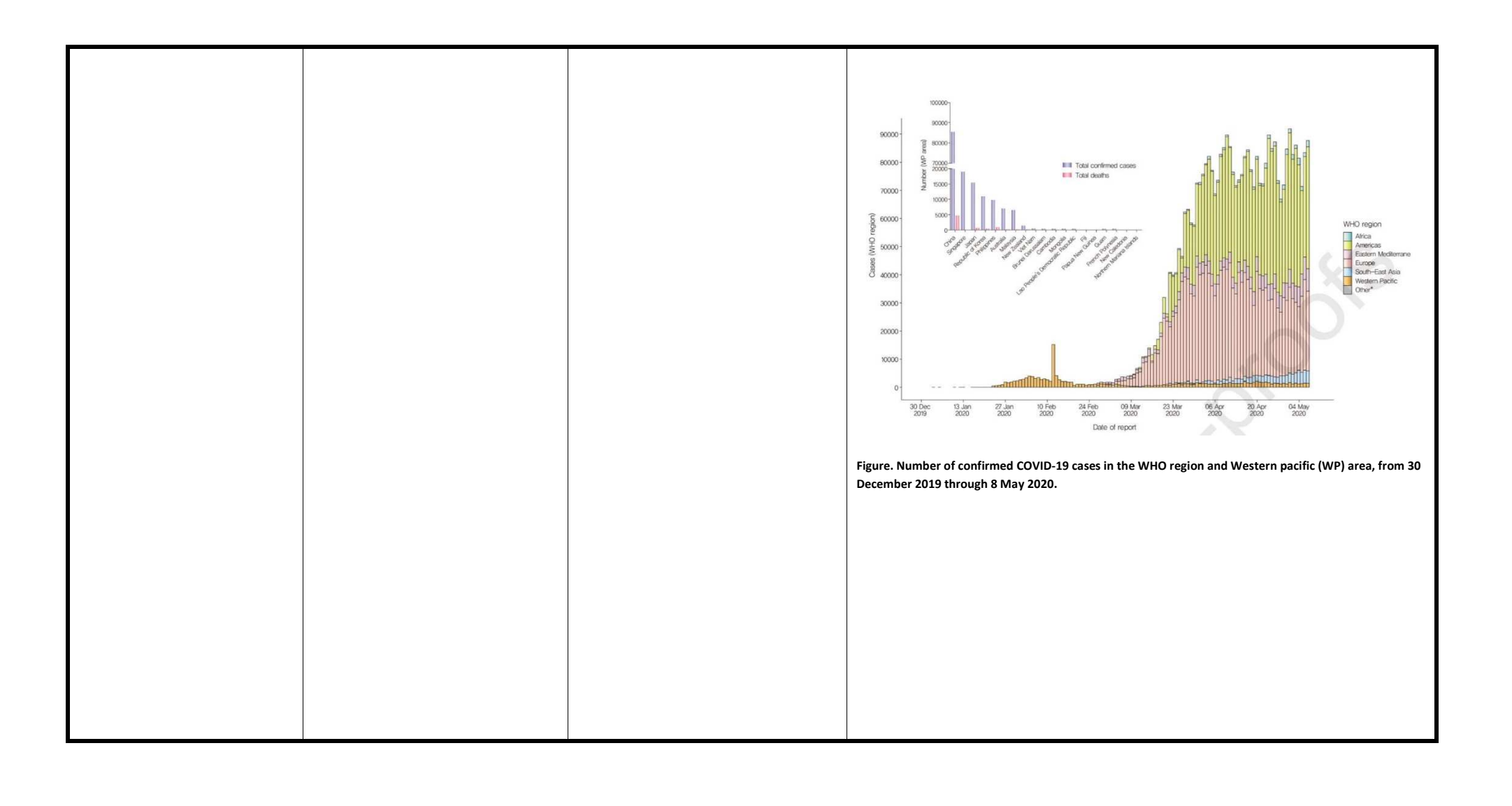
			TABLE 1 Literature-reported antiviral activities of toremifene  Chemical structure  Antiviral activities $IC_{50} = \sim 1  \mu M$ (Ebola virus) $^{16,17}$ EC $_{50} = 12.9  \mu M$ (MRES-CoV) $^{18}$ EC $_{50} = 11.97  \mu M$ (SARS-CoV-1) $^{19}$ $IC_{50} = 3.58  \mu M$ (SARS-CoV-2) $^{20}$ $IC_{50} = 50\%$ inhibitive concentration; EC $_{50} = 50\%$ effective concentration
Kogan NE et al arXiv.org  https://arxiv.org/abs/200 7.00756	An Early Warning Approach to Monitor COVID-19 Activity with Multiple Digital Traces in Near Real-Time	Sistema di allarme rapido per identificare eventuali focolai di COVID 19.	Gli interventi non farmaceutici (NPI) sono stati cruciali nel frenare la COVID-19 negli Stati Uniti (USA). Di conseguenza, rilassando le NPI attraverso una riapertura graduale degli Stati Uniti in mezzo a livelli ancora elevati di suscettibilità COVID-19 potrebbero portare a nuove ondate epidemiche. Questo suggerisce la necessità di un sistema di allarme rapido COVID-19. Qui vengono valutati più flussi di dati digitali come indicatori di allarme rapido di aumento o diminuzione dell'attività COVID-19 a livello statale tra Gennaio e giugno 2020. Vengono stimati i tempi di improvvisi cambiamenti in ogni flusso di dati utilizzando un semplice modello bayesiano che calcola in tempo quasi reale la probabilità di crescita esponenziale o decadimento. L'analisi dell'attività relativa a COVID-19 sui microblog dei social network, ricerche su Internet, software point of-care medico e un modello meccanicistico di metapopolazione, così come la febbre anomalie rilevate da reti di termometri intelligenti, mostra una crescita esponenziale di circa 2- 3 settimane prima di una crescita comparabile nei casi confermati di COVID-19 e 3-4 settimane prima di crescita comparabile dei decessi di COVID-19

Jeong IK et al  Diabetes Research and Clinical Practice	Diabetes and COVID-19: Global and Regional Perspectives	Commentary su COVID-19 in pazienti diabetici	Il diabete è uno dei principali fattori di rischio per progressione clinica in pazienti con COVID-19. I pazienti diabetici sono, infatti, maggiormente vulnerabili alle infezioni a causa dell'iperglicemia, del sistema immunitario compromesso e delle altre comorbidità che
			settimane dopo l'attuazione di NPI, come misurato da dati anonimi sulla mobilità e aggregati provenienti da telefoni cellulari. Sulla base di questi elementi, viene proposto un indicatore combinato per la crescita esponenziale di più flussi di dati che può contribuire allo sviluppo di un sistema di allarme rapido per i futuri focolai di COVID-19.  **Totale della della di della dati che può contribuire allo sviluppo di un sistema di allarme rapido per i futuri focolai di COVID-19.  **Totale della della dati che può contribuire allo sviluppo di un sistema di allarme rapido per i futuri focolai di COVID-19.  **Totale della della dati che può contribuire allo sviluppo di un sistema di allarme rapido per i futuri focolai di COVID-19.  **Totale della dati che può contribuire allo sviluppo di della dati che può contribuire della dat

https://www.sciencedire ct.com/science/article/pii /S0168822720305556 spesso « accompagnano » il diabete come ipertensione, dislipidemia e malattie cardiovascolari. La prevalenza del diabete tra le persone con COVID-19 e la gravità di COVID-19 nei pazienti con diabete variano, a seconda dell'area geografica e dell'età dei pazienti. La percentuale complessiva di soggetti diabetici colpiti da COVID-19 oscilla tra il 5,3% ed il 33,9% in vari studi provenienti da Cina, Corea, Italia e Stati Uniti. In Cina, la prevalenza del diabete nei pazienti con COVID-19 è simile alla prevalenza nazionale del diabete mellito in Cina (pari a circa il 10,9%). Alla luce delle varie casistiche, i pazienti con diabete non sembrano essere più a rischio di sviluppare COVID-19 rispetto alla popolazione generale.

Per quanto concerne il dato circa la mortalità da COVID-19 in presenza di diabete, una indagine epidemiologica del CDC cinese, ha osservato che nei pazienti con diabete mellito, la mortalità da COVID-19 è pari al 7,3%, un valore significativamente superiore sia alla mortalità da COVID-19 in pazienti senza comorbidità (0,9%), sia al tasso di mortalità globale (2,3%). Negli Stati Uniti, al 28 marzo 2020, su un totale di 122.653 casi di COVID-19 confermati, il diabete mellito (10,9%) è risultata la condizione più frequentemente riportata tra i casi i cui dati sulle condizioni di salute sottostanti erano disponibili. La percentuale di diabetici tra i casi che hanno portato a un ricovero in terapia intensiva era più elevata (32%) rispetto alla percentuale tra i casi non ospedalizzati (6%) o tra i casi di ricoveri in reparti di degenza ordinaria (24%). Diverse metaanalisi hanno inoltre osservato come l'incidenza del diabete fosse due volte più alta in coloro che hanno poi sviluppato una malattia grave rispetto ai pazienti che hanno avuto una malattia lieve. In conclusione, questi risultati suggeriscono un'associazione tra

diabete e prognosi sfavorevole e aumento della mortalità in
presenza di infezione da SARS-CoV-2.
Highlights
② Diabetes is one of the major risk factors for fatal outcomes from COVID-19.
Patients with diabetes are vulnerable to COVID-19 because of
hyperglycemia; impaired immune function; vascular complications,
and comorbidities such as hypertension, obesity, and cardiovascular disease.
<ul> <li>☑ Even though angiotensin-converting enzyme (ACE) 2 molecule is a receptor for SARS-CoV-2 viral entry, there is no evidence for the deleterious influence of ACE inhibitor or angiotensin receptor blocker (ARB) medication on the COVID-19 outcomes. It is strongly recommended that ACE inhibitor or ARBs should not be withdrawn without consultation of physician or healthcare provider.</li> <li>☑ Optimal glucose control is necessary for critically ill patients with diabetes. Also, antidiabetic medications should be individualized according to the degree of hyperglycemia, contraindications, adverse reactions, and severity of COVID-19.</li> <li>☑ Various online services of glucose management such as remote consultation, wearable monitoring system, and educational tools will be helpful for comprehensive management for patients with diabetes during pandemic period.</li> <li>☑ South Korea's strategies for favorable outcomes are early recognition, transparent and prompt sharing of information, rapid establishment of extensive diagnostic testing facilities, implementing innovative and aggressive measures for control and preventing community transmission, redesigning the triage and treatment system, mobilizing the necessary resources for clinical care.</li> </ul>



			Angiotensin I  ACE 2  Angiotensin II  ACE 2
Samuel S et al Heart Rhythm  https://www.sciencedire ct.com/science/article/pii /S1547527120306329	INCIDENCE OF ARRHYTHMIAS AND ELECTROCARDIOGRAPHIC ABNORMALITIES IN SYMPTOMATIC PEDIATRIC PATIENTS WITH PCR POSITIVE SARS-CoV-2 INFECTION INCLUDING DRUG INDUCED CHANGES IN THE CORRECTED QT INTERVAL (QTc).	Incidenza di anomalie del ritmo cardiaco in una popolazione pediatrica con COVID-19 trattata con idrossiclorochina	Sono stati inclusi nello studio 36 pazienti, con un'età media di 12,6 anni. Venti (57,5%) erano di sesso maschile. È interessante notare come due terzi dei pazienti, nonostante l'età, presentassero una comorbidità, con oltre un quarto che avevano una patologia ematologica o oncologica. I pazienti hanno presentato sintomi per una media di 5 giorni prima del ricovero e tali sintomi erano così ripartiti: febbre (67%), tosse (36%), dispnea (24%), dolore toracico (6%), mialgia (19%) , cefalea (8%) e sintomi gastrointestinali (31%). Una troponina T elevata è stata osservata in 8/29 (28%); un NT pro-BNP elevato in 6/14 (42,9%). Almeno un ecocardiogramma è stato eseguito su 14 pazienti, 3 dei quali avevano disfunzione ventricolare (frazione di eiezione <55%). L'idrossiclorochina (HCQ) in monoterapia è stata somministrata in 16 (44%) pazienti, una combinazione di HCQ + azitromicina (AZN) in 9 (25%) mentre 11 (31%) pazienti non hanno ricevuto nessuno dei due farmaci. Altri farmaci utilizzati includevano immunoglobuline (3), steroidi (4), remdesivir (2), tocilizumab (2) e anakinra (2). I pazienti sono stati

ricoverati per una media di 15 giorni con 21 (58%) pazienti che hanno richiesto il ricovero in terapia intensiva, dove 12 (33,3%) hanno richiesto supporto inotropo. Un paziente con sindrome di Walker-Warburg e anomalie cerebrali multiple è deceduto per complicanze legate ad una grave insufficienza respiratoria. Ventotto pazienti avevano almeno un elettrocardiogramma a 12 derivazioni e tutti i pazienti sono stati sottoposti a telemetria continua. Dieci pazienti hanno presentato anomalie all'ECG a 12 derivazioni, inclusi complessi QRS a basso voltaggio (18%), ipertrofia ventricolare sinistra (4%), ipertrofia ventricolare destra (4%), deviazione dell'asse sinistro (4%), deviazione dell'asse destro (4 %), variazioni significative del segmento ST (4%). Sei pazienti (17%) avevano aritmie significative; nonostante tutte le aritmie si siano dimostrate auto-limitanti ed emodinamicamente tollerate, una terapia antiaritmica profilattica è stata iniziata in 3 pazienti. Il QTc giornaliero più lungo misurato dopo l'inizio della terapia non era diverso nei pazienti che avevano ricevuto HCN con o senza AZN rispetto a quelli che non avevano ricevuto alcun farmaco (423 + 17msec contro 426 + 16 msec, p = 0,5). Tuttavia, confrontando i valori di baseline con gli intervalli QTc giornalieri più lunghi misurati dopo l'inizio della terapia con HCQ +/- AZN, si è osservato un QTc significativamente più lungo (ma ancora clinicamente normale) in quei pazienti trattati con HCQ in monoterapia (da 413 + 19 msec a 425 + 16 msec, p = 0,005), ma non in quelli trattati con entrambi i farmaci (da 406 + 19 msec a 416 + 11 msec, p = 0,3). In conclusione, in questo studio si è osservato come il trattamento con HCQ porti ad un prolungamento significativo del QTc, benchè non associato ad aritmie in una coorte di pazienti pediatrici.

			Baseline QTc (msec) vs. Longest Daily Measured QTc in patients receiving HCQ and AZN  425±17 ms  P=0.005  413±19 ms  416±11 ms  406+19 ms  HCQ (n = 16)  HCQ + AZN (n = 9)  ■ Baseline N Longest Daily Measured QTc
Hoxha A et al Lancet Infectious Diseases  https://www.thelancet.c om/journals/laninf/articl e/PIIS1473- 3099(20)30560-0/fulltext	Asymptomatic SARS-CoV-2 infection in Belgian long-term care facilities	Prevalenza di SARS-CoV-2 nelle lungodegenze del Belgio	Al 1 luglio 2020, il Belgio ha riportato 61509 casi confermati di infezione da SARS-CoV-2 e 9754 decessi. All'inizio di aprile, il ministero della salute belga ha deciso di attuare una campagna di screening in strutture di lungodegenza. Gli autori hanno effettuato un'analisi trasversale dei dati di questa campagna di screening condotta tra l'8 aprile e il 18 maggio 2020. Sono state testate 280427 persone, di cui 142100 (51%) erano ospiti delle lungodegenze e 138327 (49%) erano operatori. L'età media era di 42 anni per il personale e 85 anni per i residenti. Sono stati riportati dati provenienti da 2074 strutture di lungodegenza, con una mediana di 181 test effettuati per struttura. 8343 (3,0%) soggetti sono risultati positivi, di cui 2953 (2,1%) operatori e 5390 (3,8%) residenti. Dopo aver aggiustato l'analisi per fascia d'età e categoria di appartenenza (operatore vs residente), le probabilità di risultare positivo al test erano più alte per le donne che per gli uomini (odds ratio 1,2, IC al 95% 1,1–1,2) e per gli individui sintomatici rispetto a quelli che erano asintomatici (OR 8,5, 8,0–9,0). Non sono stati segnalati sintomi per 6244 (74,8%, IC 95% 73,9–75,8) soggetti tra i

			8343 risultati positivi, di cui 2185 (74,0%, 72,4–75,6) operatori e 4059 (75,3%, 74,1–76,5) residenti. In conclusione, questa analisi di un'ampia casistica di soggetti analizzati nelle strutture di lungodegenza, ha mostrato un'alta percentuale di casi asintomatici, rafforzando la necessità di implementare campagne di screening di massa per individuare non solo i soggetti sintomatici, ma anche quegli individui che non presentano sintomi.
Pollàn M et al The Lancet  https://www.thelancet.c om/journals/lancet/articl e/PIIS0140- 6736(20)31483-5/fulltext	Prevalence of SARS-CoV-2 in Spain (ENE-COVID): a nationwide, population- based seroepidemiological study	Risultati di indagine di sieroprevalenza su SARS- CoV-2 in Spagna	Dei 66805 partecipanti allo studio, 61075 partecipanti sono stati sottoposti al test point-of-care e 51958 al test sierologico immunoenzimatico. Tra il 27 aprile e l'11 maggio 2020, la sieroprevalenza per l'intero paese è stata del 5,0% (IC 95% 4,7–5,4) dai risultati del test point-of-care e del 4 6% (4,3–5,0) sulla base dei risultati dell'esame immunoenzimatico. I dati presentavano alta variabilità in base alle aree geografiche analizzate : in sette province nella parte centrale della Spagna, tra cui quella di Madrid, la sieroprevalenza è risultata superiore al 10% per entrambe le metodiche. Nelle province lungo la costa, la sieroprevalenza è risultata superiore al 5% solo a Barcellona, con stime di sieroprevalenza simili per entrambi i test. Stratificando per fasce d'età, la sieroprevalenza è stata dell'1,1% nei bambini di età inferiore a 1 anno e del 3% nei bambini di età compresa tra 5 e 9 anni, aumentando con l'età poi fino ad un plateau del 6% nelle persone di età pari o superiore a 45 anni. La sieroprevalenza, risultata simile tra i due sessi, è invece risultata più alta nei comuni più grandi (6,4% in città con almeno 100000 residenti contro 4,2% in quelle con meno di 5000 residenti) ed era più elevata negli operatori sanitari (10,2%) rispetto ad altre categorie professionali. La proporzione di individui asintomatici con un test positivo è risultata rispettivamente del 32,7% e del 28,5% per il point-of-care ed il test immunoenzimatico. Quando si utilizza il test

Lee Dickens BS et al	Simple 'Rule-of-6' predicts severe COVID-19 disease	Studio su predittori di progressione clinica di COVID-19	Nella loro pratica clinica, gli autori hanno adottato una "regola del 6" che comprende 3 parametri (PCR, ferritina e LDH), misurati nelle prime 48 ore di ricovero, al fine di identificare precocemente i pazienti a rischio di progressione clinica della malattia. Questo score è stato derivato e validato in una coorte di 140 pazienti. I primi 60 pazienti hanno composto la coorte di derivazione (48,3% maschi,
			point-of-care è stata complessivamente del 79,6%, variando dal 61,0% in soggetti senza sintomi al 97,2% in soggetti con tampone positivo più di 14 giorni prima. In conclusione, lo studio offre informazioni circa la sieroprevalenza in Spagna, con marcate differenze tra le diverse città. All'interno dello studio, circa un terzo degli individui risultati positivi all'esame sierologico non ha mai presentato sintomi compatibili con COVID-19.  Point-of-care test Immunoassay  Point-of-care test Immunoassay  Figure. Seroprevalence of SARS-CoV-2 by age

https://academic.oup.co	età media 41,7 anni, range 20-69) ; all'interno di questa coorte il
m/cid/article/doi/10.109	23,3% ha richiesto ossigeno supplementare, il 18,3% trasferimento
3/cid/ciaa938/5868031	in terapia intensiva ed il 13,3% ventilazione meccanica. I pazienti
	che sono peggiorati erano più anziani (p <0,001) ma i predittori più
	forti sono risultati il valore della ferritina al momento del ricovero
	(media 663.33 nei soggetti peggiorati rispetto a 208,2 μg / L in
	pazienti stabili , p = 0,02), il valore della PCR (media 71,83 contro
	17,21 mg / L, p = 0,01) ed il valore di LDH (media 738,5 contro 440,1
	U / L, p <0,01). In confronto, le determinazioni di ferritina e PCR a 48
	ore sono risultate predittori migliori rispetto all'età. L'AUC della
	ferritina per la supplementazione di ossigeno, il trasferimento in
	terapia intensiva e l'intubazione era rispettivamente pari a 0,89,
	0,90 e 0,88. Inoltre, l'AUC della PCR per gli eventi sopra elencati era
	rispettivamente 0,93, 0,93 e 0,88. Similmente, anche il valore a 48
	ore della LDH è risultato utile predittore di progressione (AUC 0,83-
	0,85). Gli autori hanno quindi identificato i seguenti cut-off come
	predittori di deterioramento clinico e trasferimento in terapia
	intensiva: PCR> 68 mg / L (AUC 0.93), ferritina> 532 μg / L (AUC
	0.88) e LDH> 597 (AUC 0.86) . Da quanto sopra, è stata quindi
	derivata una "Regola del 6" per aiutare nell'identificazione precoce
	di pazienti COVID-19 a rischio di progressione: ferritina> 600 μg / L,
	LDH> 600 U / L e PCR> 60 mg / L a 48 ore. Questi parametri sono
	stati quindi validati in una coorte di validazione di altri 80 pazienti
	(età media 39,86 anni). Questa "regola del 6" ha dimostrato buone
	prestazioni nell'identificare i pazienti a rischio di deterioramento in
	terapia intensiva, ottenendo valori particolarmente elevati di AUC
	con i suddetti cut-off di PCR, ferritina e LDH (rispettivamente 0,99,
	0,88 e 0,90). In sintesi, gli autori hanno superato l'uso della sola PCR
	come parametro di identificazione di pazienti ad alto rischio di

			progressione clinica, usando uno score composto da 3 parametri
			con cut-off facilmente memorizzabili.
			con cut-on facilinence memorizzabili.
			A Age B Ferritin
			1.0
			0.8
			0.6 -
			0.4 -
			0.2 - Supp O2 AUC: 0.83 0.2 - Supp O2 AUC: 0.89 ICU AUC: 0.84
			1.0 0.8 0.6 0.4 0.2 0.0 1.0 0.8 0.6 0.4 0.2 0.0
			0.0   Intubation AUC: 0.85   0.0   Intubation AUC: 0.88   1.0   0.8   0.6   0.4   0.2   0.0   1.0   0.8   0.6   0.4   0.2   0.0   1.0   0.8   0.6   0.4   0.2   0.0   0.8   0.
			0.6
			0.4 -
			0.2 - Supp O2 AUC: 0.93
			1.0 0.8 0.6 0.4 0.2 0.0 1.0 0.8 0.6 0.4 0.2 0.0
			1.0 0.8 0.6 0.4 0.2 0.0 1.0 0.8 0.6 0.4 0.2 0.0 Specificity
			Орестепу
Lui Y et al	Evidence for probable	Modello di trasmissione di	Tre famiglie (A, B, C), di cui 10 membri sono stati successivamente
	aerosol transmission of	SARS-CoV-2 in un ristorante	trovati positivi a SARS-CoV-2, hanno pranzato al ristorante X in
medRxiv.org	SARS-CoV-2 in a poorly	a Guangzhou, Cina	occasione del Capodanno cinese (24 gennaio 2020) in tre tavoli
	ventilated restaurant		vicini. Si presume che il primo caso confermato (A1) della famiglia A
			diagnosticato il 24 gennaio, sia il paziente indice. L'ultimo paziente è
https://www.medrxiv.org			stato confermato il 6 febbraio. Le tre famiglie hanno pranzato in
/content/10.1101/2020.0			momenti diversi ; secondo l'analisi dei video, non vi è stato alcun
4.16.20067728v1			contatto stretto e/o significativo tra le tre famiglie nell'ascensore o
			nel bagno. Il tracciamento dei contatti ha identificato 193 clienti nel
			ristorante, 68 dei quali erano al terzo piano del ristorante X

contemporaneamente alle famiglie A, B e C, tra cui 57 dipendenti del ristorante : nessuna di gueste persone è stata infettata dal virus. Pertanto, solo i 10 clienti del ristorante sono stati infettati : 5 membri della famiglia A, 3 dei 4 membri della famiglia B e 2 dei 7 membri della famiglia C. I tavoli e i clienti sono stati inizialmente classificati in base alla distanza dal tavolo della famiglia A (TA), come tavoli immediatamente prossimi (TB, TC e T18) o tavoli distanziati (Tabelle T4–17). Nessuno degli avventori seduti in tavoli che non fossero TA, TB e TC ha contratto l'infezione. Nel modello proposto dalgi autori, all'interno della zona con le famiglie A, B e C, il flusso d'aria espirata dal paziente indice prima cade al suolo e poi risale, in seguito all'interazione con l'aria più calda e con il getto d'aria del sistema di condizionamento d'aria. Il getto di aria condizionata ad alta velocità trasporta l'aria contaminata all'altezza del soffitto. Al raggiungimento della finestra di vetro sul lato opposto, il getto ripiega verso il basso e ritorna ad un'altezza inferiore. Ad ogni tavolo, i rialzi termici provenienti dal cibo caldo e dalle persone, trasportano l'aria contaminata verso l'alto ed essa ritorna all'unità di condizionamento dell'aria e forma una zona di ricircolo d'aria, definita dagli autori « zona ABC » (Figura). In sintesi, l'analisi epidemiologica, le misurazioni sperimentali in loco del tracciante e le simulazioni del flusso d'aria supportano l'ipotesi che si sia verificata una diffusione aerosolica a corto raggio di SARS-CoV-2 nel ristorante. Questa conclusione ha importanti implicazioni per la pandemia di COVID-19; in particolare, sebbene il contatto ravvicinato e l'esposizione a fomiti possa svolgere un ruolo importante nella trasmissione di SARS-CoV-2, la trasmissione aerosolica a corto raggio del virus appare possibile in luoghi affollati e scarsamente ventilati.

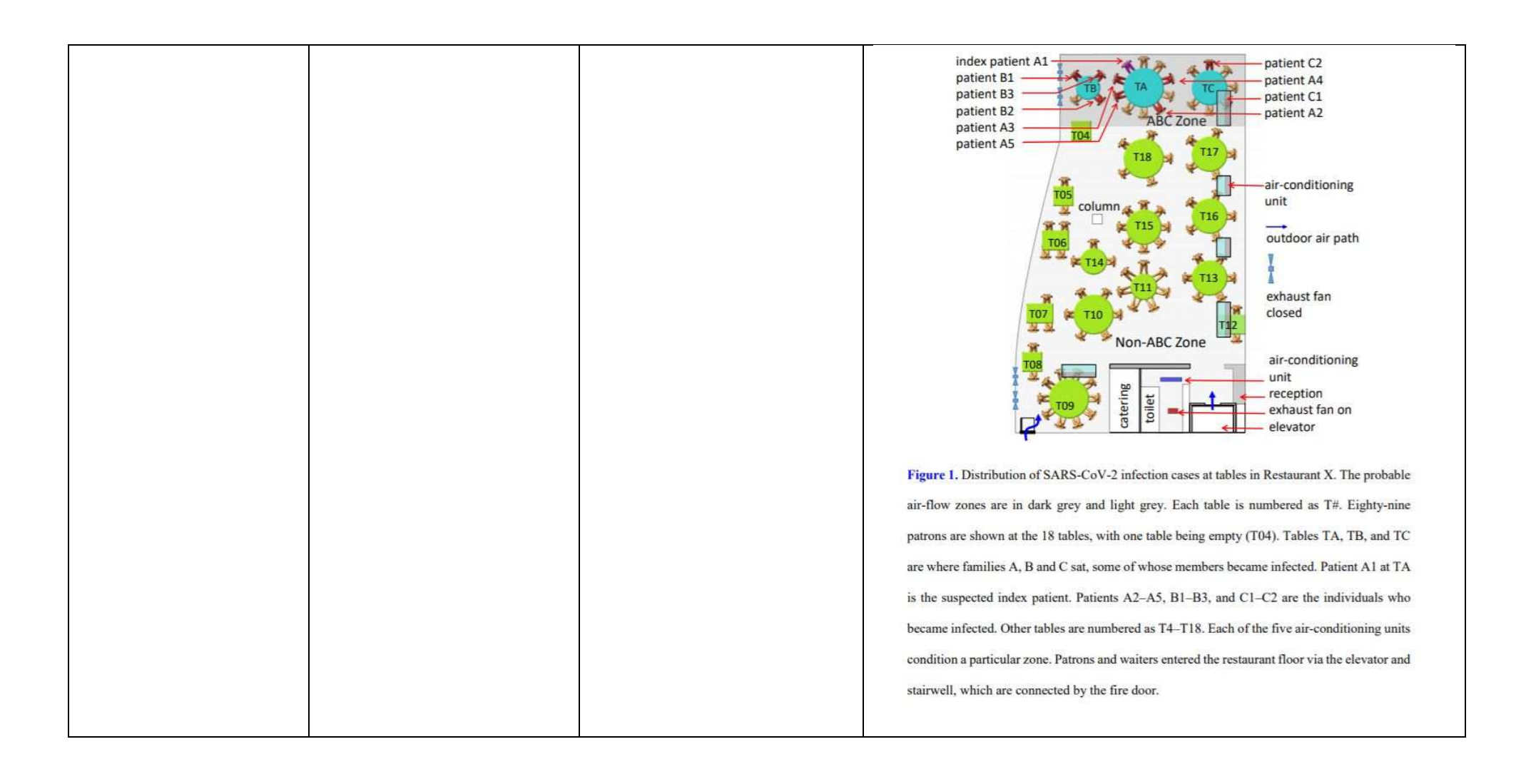


			Figure 3. Simulated dispersion of fine droplets exhaled from index Patient A1 (magenta-blue), which are initially confined within the cloud envelope due to the zoned air-conditioning arrangement. The fine droplets eventually disperse into the other zones via air exchange and are eventually removed via the restroom exhaust fan. The ABC zone clearly has a higher concentration of fine droplets than the non-ABC zone. Other infected patients are shown in red and other non-infected in gold color. Only a single human body is used to represent all patrons.
Miller SL et al	Transmission of SARS-CoV-2	Alto tasso di attacco	Quando il coro della Skagit Valley (SVC) si è riunito la sera del 10
modDviv.org	by inhalation of respiratory	secondario potenzialmente	marzo 2020, una persona che partecipava alle prove presentava
medRxiv.org	aerosol in the Skagit Valley	correlato a trasmissione	sintomi simil-influenzali che erano iniziati 3 giorni prima; quella
		aerosolica di SARS-CoV-2	persona è successivamente risultata affetta da COVID-19 ed è

	Charala anna anna dia a	
	Chorale superspreading	considerata il "caso indice". L'SVC ha 122 membri, ma solo 61 hanno
https://www.medrxiv.org	event	partecipato alle prove il 10 marzo ; tra i 61 partecipanti alle prove,
/content/10.1101/2020.0		53 casi in totale sono stati successivamente identificati (incluso il
6.15.20132027v2		caso indice), con 33 casi confermati mediante tampone
0.13.2013202772		nasofaringeo e 20 non confermati ma ritenuti casi probabili sulla
		base dei sintomi e del tempo di insorgenza degli stessi. Tenendo
		conto del presunto caso indice, il tasso di attacco di infezione
		secondaria è quindi compreso tra 32/60 e 52/60, o 53-87%. Durante
		le prove sono state prese precauzioni per scongiurare la diffusione
		di COVID-19, incluso l'uso di disinfettante per le mani, nessun
		abbraccio o stretta di mano. L'inalazione di aerosol respiratorio ha
		probabilmente rappresentato il principale meccanismo di
		trasmissione dell'infezione in questa occasione, poiché è
		improbabile che altre modalità di trasmissione spieghino l'alto tasso
		di attacco secondario. Ad esempio, sembra impossibile che tutti i
		partecipanti abbiano toccato la stessa superficie del caso indice.
		Inoltre, i partecipanti alle prove hanno affermato di aver prestato
		molta attenzione a ridurre al minimo il contatto interpersonale. Il
		caso indice ha trascorso un tempo prolungato durante le prove in
		compagnia di un numero ristretto di partecipanti alle prove, avendo
		solo contatti brevi e accidentali con gli altri coristi. Per tali ragioni, il
		rischio di contagio dovuto a contatti ravvicinati sembrerebbe essere
		basso, considerando che si ritiene che ci sia stato solo un caso indice
		e che sarebbe stato seduto in prossimità di solo una piccola parte
		degli altri membri del coro. Se la trasmissione per contatto
		ravvicinato e/o fomiti fosse stata effettivamente la modalità
		dominante di trasmissione, il tasso di attacco secondario sarebbe
		dovuto essere molto più basso rispetto a quanto osservato (53-
		87%). Ci si aspetterebbe anche che i casi secondari riguardassero
		prevalentemente gli individui più vicini al caso indice ; invece, questi
		sono risultati distribuiti in modo omogeneo all'interno della stanza. I

risultati indicano un tasso di emissione dell'ordine di mille quanti per ora (media 970 [680-1190] quanti all'ora) e dimostrano che il rischio di infezione è modulato dalle condizioni di ventilazione, grado di occupazione della stanza e durata dell'esposizione ad individui infettivi.

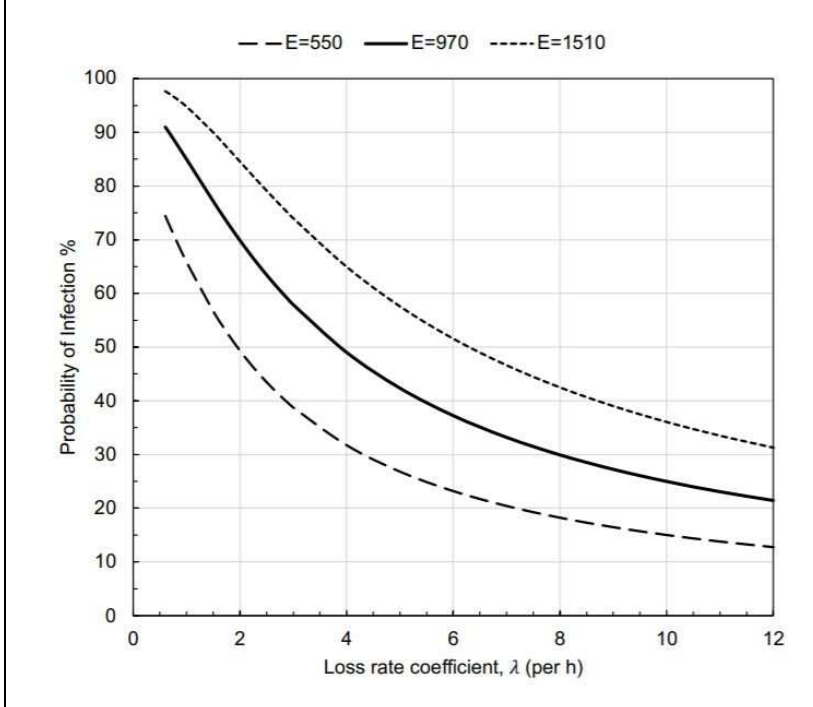


Figure 1. Probability of infection for each rehearsal participant as a function of loss rates for varying airborne quanta emission rates (E, q h-1). Infection probability is plotted for the predicted mean emission rate (970 q h-1) and the 10thand 90th percentile emission rates (550 and 1510 q h-1, respectively.) A rehearsal duration of 2.5 hours, an indoor volume of 810 m3 and a volumetric breathing rate of 1.0 m3 h-1 were assumed

			— — D=0.5 — — D=1 ······· D=2 — D=2.5
			100 90 80 80 70 100 100 90 10 100 100 100 100 100 100
			emission rate (970 q h-1) and constant volumetric breathing rates of 1.0 m3 h-1 were assumed.
Goldman E et al	Exaggerated risk of	Commentary sul reale	Sulla base di studi che sono poco applicabili agli scenari della vita
Lancet Infectious	transmission of COVID-19 by	rischio di trasmissione	reale, è stato assunto un rischio clinicamente significativo della
Diseases	fomites	rappresentato dai fomiti	trasmissione di SARS-CoV-2 da parte di fomiti (superfici o oggetti
Discases			inanimati). Lo studio che ha riscontrato la più lunga permanenza (6
			giorni) di SARS-CoV sulle superfici è stato condotto ponendo un
			campione virale molto ampio (10 <sup>7</sup> particelle virali) sulla superficie da
			testare. Un altro studio, che ha osservato una permanenza di 4
https://www.thelancet.c			giorni, ha usato un campione altrettanto grande (10 <sup>6</sup> particelle virali) sulla superficie. Nessuno di questi studi presenta scenari affini
om/journals/laninf/articl			alla pratica clinica ; benchè non siano reperibili misurazioni della
<u>e/PIIS1473-</u>			carica virale di SARS-CoV-2 nelle goccioline di aerosol dei pazienti, è
3099(20)30561-2/fulltext			stata misurata la quantità di RNA del virus dell'influenza negli
			aerosol, con una concentrazione equivalente a 10–100 particelle

			virali in una gocciolina, con ancora meno particelle virali in grado di replicarsi se poste in coltura. Al contrario, uno studio ha osservato come il coronavirus 229E sia in grado di sopravvivere solo per 3 ore ed il coronavirus OC43 solo per 1 ora, dopo l'essiccazione su varie superfici tra cui alluminio, guanti chirurgici in lattice sterili e spugne sterili. Secondo l'autore, la probabilità di trasmissione attraverso superfici inanimate è molto bassa, e solo in rari casi in cui una persona infetta tossisce o starnutisce su una superficie e qualcun altro tocca quella superficie subito dopo (entro 1-2 ore). Sebbene la disinfezione periodica delle superfici e l'uso dei guanti siano precauzioni ragionevoli, specialmente negli ospedali, è possibile che i fomiti che non sono stati in contatto con soggetti infettivi per molte ore non comportino un rischio concreto di trasmissione in contesti non ospedalieri.
Merkler AE et al	Risk of Ischemic Stroke in Patients With Coronavirus	Rischio di ictus ischemico in pazienti con COVID-19	Tra il 4 marzo ed il 2 maggio 2020, sono stati analizzati 1916 pazienti con COVID-19; l'età mediana era di 64 anni, 1111 (57%) erano
	Disease 2019 (COVID-19) vs		uomini. I principali sintomi riportati erano dispnea (1358 [71%]),
JAMA Neurology	Patients With Influenza		tosse (1297 [68%]) e febbre (1275 [67%]). C'erano 330 pazienti con
			forma grave di COVID-19 (17%), che hanno necessitato di ventilazione meccanica. Dei 1916 pazienti con COVID-19, 31 pazienti
			(1,6%; IC 95%, 1,1% -2,3%) hanno avuto un ictus ischemico acuto.
https://jamanetwork.co m/journals/jamaneurolog			L'intervallo di tempo mediano tra l'insorgenza dei sintomi di COVID-
y/fullarticle/2768098			19 e la diagnosi di ictus è stata di 16 giorni. L'età media dei pazienti
<u> </u>			con ictus ischemico era di 69 anni. Più di un terzo degli ictus
			ischemici (11 [35%]) si sono verificati in pazienti con forma grave di
			COVID-19 e sottoposti a ventilazione meccanica. Il punteggio mediano dello score NIH-STROKE era 16. I pazienti che hanno
			ricevuto una diagnosi di ictus ischemico acuto erano
			significativamente più anziani e in media avevano più fattori di
			rischio per ictus, indici di flogosi più elevati ed una forma di COVID-

			19 più severa rispetto ai pazienti senza ictus ischemico. Il paziente
			più giovane con ictus ischemico nella coorte aveva 51 anni. Il valore
			mediano del D-dimero iniziale iniziale era di 1.930 µg / mL nei
			,
			pazienti con ictus ischemico vs 0,682 μg / mL nei pazienti senza ictus
			ischemico (P = 0.01). Tra i pazienti con ictus ischemico acuto, la
			trombolisi endovenosa è stata stata effettuata in 3 pazienti (10%) e
			la trombectomia meccanica in 2 pazienti (7%). La mortalità
			ospedaliera è stata del 32% tra i pazienti con COVID-19 ed ictus
			ischemico contro il 14% tra i pazienti con COVID-19 senza ictus
			ischemico (P = 0,003). E' stata poi analizzata una coorte « di
			controllo », composta da 1486 pazienti con diagnosi di influenza
			(osservati tra il 1 gennaio 2016 ed il 31 maggio 2018). La loro età
			media era di 62 anni, 663 (45%) erano uomini. Sintomi compatibili
			con malattia respiratoria virale erano presenti in 1427 pazienti
			(96%), tra cui i più comuni erano tosse (1188 [80%]), febbre (833
			[56%]) e dispnea (553 [37%]). 48 pazienti (3%) hanno presentato
			una malattia severa, che ha necessitato di ventilazione meccanica.
			Dei 1486 pazienti con influenza, 3 pazienti (0,2%; IC 95%, 0,0% -
			0,6%) hanno avuto un ictus ischemico acuto. I pazienti con COVID-
			19 hanno mostrato maggiori probabilità di avere un ictus ischemico
			acuto rispetto ai pazienti con influenza (OR 8,1; IC al 95%, 2,5-26,6).
			Il risultato si è conferamto dopo aver corretto l'analisi per età, sesso
			e etnia (OR, 7,6; IC al 95%, 2,3-25,2). In conclusione, in questo
			studio la percentuale di pazienti con COVID-19 che hanno
			presentato un ictus ischemico è risultata superiore alla percentuale
			osservata in pazienti sono stati ricoverati in ospedale con influenza.
			and the state of t
Shi D et al	Clinical characteristics and	Studio su fattori associati a	Un totale di 99 pazienti con infezione da SARS CoV 2 è stato incluso
	factors associated with long	prolungato shedding virale	in questo studio, condotto dal 19 gennaio al 17 febbraio 2020.
Journal of Infectious	term viral excretion in		Durante il ricovero, 61 pazienti (61,6%) hanno negativizzato il
Diseases			tampone nasofaringeo (gruppo negativo), mentre 38 pazienti
<u> </u>			

	patients with SARS CoV 2
	infection: a single center 28
https://academic.oup.co	day study
m/jid/article/doi/10.1093	
/infdis/jiaa388/5866521	

(38.4%) sono stati dimessi dopo aver constatato la persistente positività del tampone (gruppo positivo). Complessivamente, il 61.6% dei pazienti era di sesso maschile. l'età media della coorte era di 54 anni ed il 22,2% dei pazienti aveva un'età >65 anni. L'età media dei pazienti nel gruppo positivo era significativamente maggiore rispetto a quelli nel gruppo negativo (61,5 vs 50; P <0,01). Il numero di pazienti anziani (> 65 anni) nel gruppo positivo era significativamente più alto (P <0,01). Ipertensione (n = 36, 36,4%) e diabete mellito (n = 16,16,2%) sono state le comorbidità più comuni tra i pazienti con COVID 19. I markers infiammatori come PCR (P = 0,01) e procalcitonina (P = 0,01) dei pazienti persistentemente positivi al virus erano significativamente più elevati rispetto a quelli dei pazienti del gruppo negativo. Solo 1 paziente (1,6%) ha negativizzato il tampone entro 5 giorni, 9 pazienti (14,7%) entro 10 giorni e 49 (80,3%) entro 20 giorni dall'esordio della malattia. Inoltre, un piccolo sottogruppo di 12 pazienti con COVID-19 presentava livelli rilevabili del virus fino a 30 giorni dall'esordio dei sintomi. Il tempo mediano di persistenza dello shedding virale è stato di 16 giorni ; il gruppo positivo ha mostrato un tempo di shedding virale mediano di 19 giorni, che era significativamente più lungo di quello nel gruppo negativo (mediana 15, P = 0,002). Tra i 99 pazienti COVID 19, un totale di 30 (30,3%) sono stati trasferiti in terapia intensiva ed i pazienti nel gruppo positivo presentavano un tasso più alto di ricovero in terapia intensiva rispetto al gruppo negativo (52,6% vs. 16,4%, P <0,01). La durata mediana della permanenza in terapia intensiva per i 30 pazienti è stata di 7,5 giorni, con differenze significative tra il gruppo positivo e quello negativo (8,5 vs 4 giorni, P <0,01). Rispetto al gruppo negativo, il gruppo positivo ha necessitato più frequentemente di ventilazione meccanica (26,3% vs. 3,3%, P <0,01). Inoltre, tutti i pazienti sottoposti a ECMO appartenevano al gruppo positivo (15,8% vs. 0%,

			P <0,01). Ad una analisi multivariata, il sesso maschile (HR, 0,58 [IC 95%, 0,35 0,98]), l'uso di immunoglobuline (HR, 0,42 [IC 95%, 0,24 0,76]), lo score APACHE II (HR, 0,89 [IC 95% 0,84 0,96]) e la conta linfocitaria (HR 1.81 [IC 95%, 1,05 3,1] 3,1]) sono risultati fattori indipendenti associati alla persistente positività dell'esame molecolare per SARS CoV 2. In conclusione, lo studio analizza i predittori di prolungato shedding virale ; terapia corticosteroidea e/o terapia antivirale non hanno influenzato tale parametro.
Bani-Sadr F et al	Corticosteroid therapy for	Studio su efficacia della	Tra il 3 marzo e il 14 aprile 2020, sono stati arruolati 257 pazienti
https://www.sciencedirect.com/science/article/pii/S0924857920302478	patients with CoVID-19 pneumonia: a before-after study	terapia corticosteroidea in COVID-19	con CoVID-19; ai fini dello studio sono stati considerati 2 periodi: il primo, dal 3 al 20 marzo, corrispondeva al periodo "precedente" (85 pazienti), durante il quale la terapia con corticosteroidi non era raccomandata. Il secondo periodo comprendeva dal 26 marzo al 14 aprile 2020 (periodo "successivo", 172 pazienti), quando la terapia con corticosteroidi era ampiamente utilizzata. La durata media del follow-up è stata di 16,0 giorni ed è stata simile tra i periodi (p = 0,92). Il "periodo successivo", e quindi la terapia corticosteroidea, in analisi bivariata, non è risultato associato ad un minor rischio di morte (hazard ratio (HR) = 0,86; p = 0,62), mentre invece l'associazione risultava significativa in multivariata corretta per età, National Early Warning score e grado di istituzionalizzazione (HR = 0,47; p = 0,04). Il "periodo successivo" è stato associato a un minor rischio di ricovero e / o morte in terapia intensiva prima dell'ammissione in terapia intensiva mediante analisi bivariate (HR = 0,25; IC al 95% = 0,11-0,55) e analisi multivariata adattate per età, National Early Warning score e grado di istituzionalizzazione (HR = 0,37 IC 95% 0,21 - 0,64; p = 0,0005). In conclusione, questi dati preliminari supportano l'avvio di studi clinici per testare l'efficacia e la sicurezza dei corticosteroidi durante la fase infiammatoria di

			CoVID-19 e possono potenzialmente portare a un cambiamento
			nelle raccomandazioni sul trattamento.
			10-
			+Censor
			0.8 -
			——————————————————————————————————————
			and
			All lige 0.6 - or
			<sup>3</sup> / <sub>2</sub>
			0.2 –
			0.0 -
			0 10 20 30 40
			Before After
			Fig. Kaplan Meier curves for ICU admission and/or death before ICU admission between patients "before" and "after" implementation of corticosteroids for CoVID-19 pneumonia in Reims University
			Hospital
Mei Q et al	Assessment of patients who	Dati di follow-up su pazienti	In questo ospedale di Wuhan, 651 pazienti sono stati dichiarati
	tested positive for COVID-19	dimessi con COVID-19	guariti dal COVID-19 tra l'11 gennaio ed il 1 aprile 2020 (tutti i
Lancet Infectious	after recovery		pazienti avevano 2 tamponi negativi consecutivi). Durante il follow-
Diseases			up, 23 (3%) su 651 pazienti sono risultati positivi ad un nuovo
			tampone per SARS-CoV-2 in occasione di una visita di controllo.
			L'età media di questi pazienti nuovamente positivi era di 56 anni,
https://www.thelancet.c			con leggermente più donne (12 [52%] su 23 pazienti) rispetto agli
om/journals/laninf/articl			uomini (11 [48%]). Il tempo mediano trascorso dalla dimissione ad
			un nuovo test positivo è stata di 15 giorni. La durata mediana da un
			test positivo al ricovero in ospedale è stata di 1,5 giorni. Al

e/PIIS1473- 3099(20)30433-3/fulltext			momento del test positivo, un test point-of-care per immunoglobuline virali anti-SARS-CoV-2 ha mostrato che sette pazienti (30%) erano positivi sia per le IgM che per le IgG, mentre cinque (22%) erano IgG- positivo ma IgM negativo; i restanti 11 pazienti (48%) erano negativi per entrambi gli anticorpi. Tra questo
			gruppo positivo al test, 15 pazienti (65%) erano asintomatici al momento del test, mentre otto (35%) presentavano almeno un sintomo compatibile con COVID-19. In particolare, sei pazienti (26%) hanno presentato febbre, due (9%) hanno avuto tosse, uno (4%) ha riferito affaticamento, una dispnea (4%) e uno (4%) dolore al torace. Al momento del censor del follow-up (4 aprile 2020) tutti e 23 i pazienti con un nuovo test positivo erano vivi, 18 (78%) si erano ripresi e sono stati nuovamente dimessi dall'ospedale, quattro (17%) sono rimasti in ospedale per cure mediche aggiuntive e una (4%) è rimasta a casa in autoisolamento. In conclusione, questo risultato come, tra i pazienti con un nuovo test positivo, il 52% aveva anticorpi anti-virali IgG e il 30% aveva anticorpi IgM, suggerendo un riconoscimento parziale del sistema immunitario di SARS-CoV-2.
Yang BY et al	Clinical Characteristics of	Caratteristiche cliniche di	Dal 1 febbraio 2020 al 18 marzo 2020, sono stati ricoverati 775
JAMA Network Open  https://jamanetwork.co	Patients With Coronavirus Disease 2019 (COVID-19) Receiving Emergency Medical Services in King County, Washington	pazienti COVID che hanno necessitato di intervento del servizio di assistenza territoriale.	pazienti con COVID-19 nella Contea di King, USA. Di questi, il servizio di assistenza territoriale (EMS) è intervenuto per 124 pazienti (16,0%): un totale di 66 pazienti (53,2%) erano donne e l'età media era di 75,7 anni. Un totale di 56 pazienti (46,0%) erano residenti in strutture di lungodegenza e 47 (37,9%) presentavano 3
m/journals/jamanetwork open/fullarticle/2767993	County, washington		o più comorbidità, tra cui quelle più comuni erano ipertensione (44 [35,4%]), malattie cardiache (41 [33,1%]), malattie polmonari (26 [21,0%]), diabete (25 [20,2%]) e demenza (23 [18,5 %]).

Carfi A et al	Persistent Symptoms in Patients After Acute COVID- 19	Persistenza dei sintomi di COVID-19 in pazienti microbiologicamente guariti	A partire dal 21 aprile 2020, la Fondazione Policlinico Universitario Agostino Gemelli IRCCS, ha istituito un servizio di DH post-COVID per le persone dimesse dall'ospedale e guarite da COVID-19. Sono stati inclusi nell'analisi 143 pazienti tra quelli seguiti presso il
			I motivi più comuni per cui veniva contattato l'EMS erano : malattia di origine sconosciuta (41 [27,9%]), difficoltà respiratoria (25,2%), trauma (15,0%). I sintomi più frequenti riportati dalla documentazione EMS sono stati febbre (68 [46,2%]), seguiti da dispnea (64 [43,5%]), affaticamento (59 [40,1%]), tosse (43 [29,3%]) e stato mentale alterato (41 [27,9%]). Sono stati osservati sintomi gastrointestinali, tra cui nausea e/o vomito (14 [9,5%]) e diarrea (9 [6,1%]). Diminuzione del livello di coscienza, verificato mediante Glasgow Coma Scale, era presente in 29 su 108 pazienti (26,9%), mentre l'ipotensione al ricovero è stata osservata in 16 su 134 casi (11,9%). Un totale di 49 pazienti (33,3%) ha necessitato di ossigenoterapia e/o supporto ventilatorio. Rispetto a coloro che non risiedevano in una struttura di lungodegenza, i pazienti di una struttura a lungo termine erano più anziani (età media, 80,7 anni contro 71,4 anni; P <0,001), più frequentemente presentavano un punteggio di Glasgow Coma Scale inferiore a 15 (22 su 53 [41,5%] contro 7 su 55 [12,7%]; P <0,001) e tachipnea manifestata più spesso (27 su 58 incontri [46,6%] vs 15 su 73 incontri [20,5%]; P = 0,002 ). La mortalità complessiva nella coorte è stata del 52,4% (65 su 124) al 1 giugno 2020. La mortalità è risultata maggiore tra quei pazienti residenti in una struttura di assistenza a lungo termine (41 su 56 [73,2%] contro 24 su 68 [35,3%]; P <0,001). In conclusione, lo studio dimostra il ruolo dei servizi di assistenza territoriale nel gestire i pazienti COVID ; particolare enfasi viene posta sugli ospiti delle lundogenze, i quali presentano un più elevato rischio di mortalità.

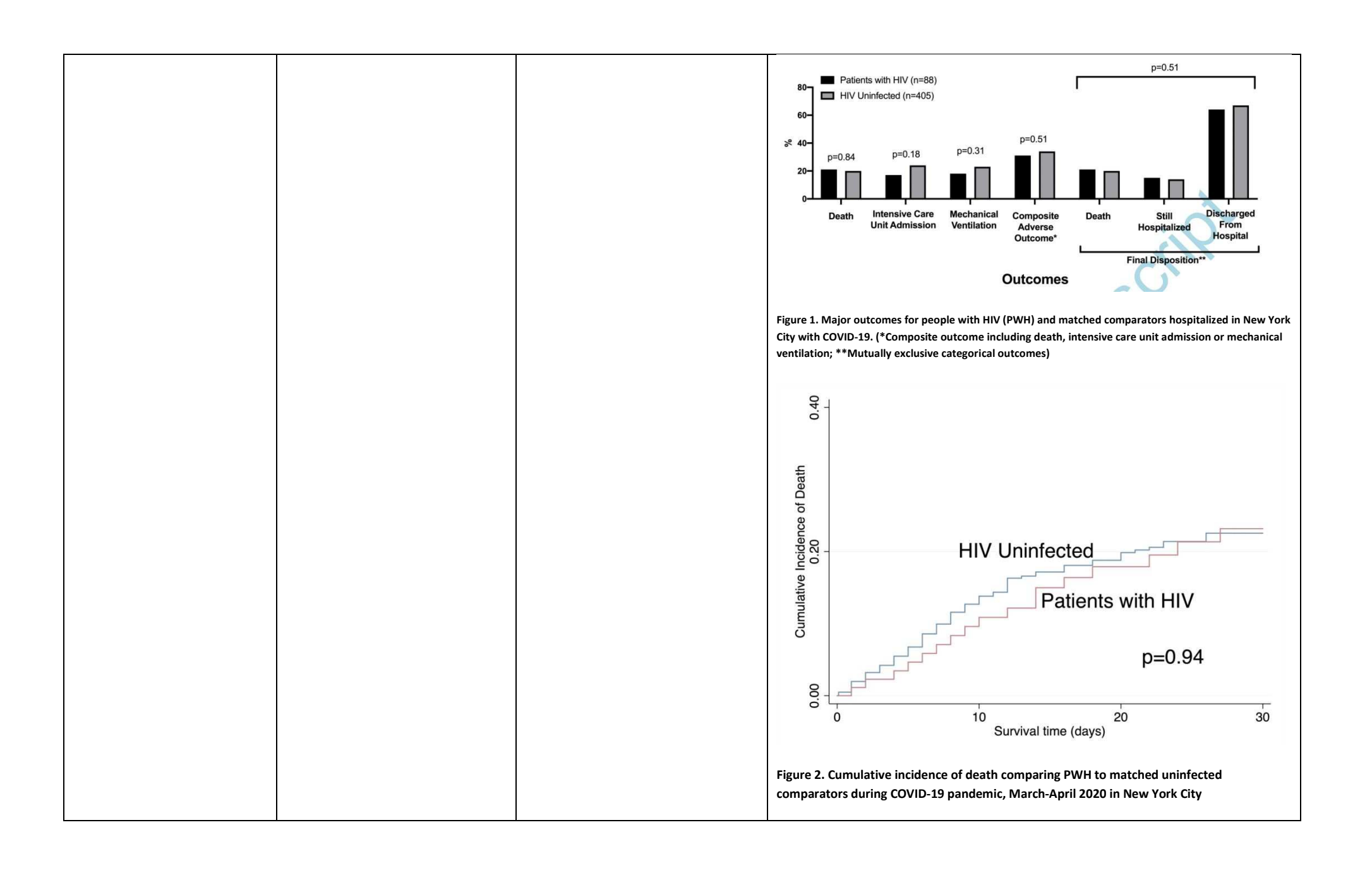
https://jamanetwork.co
m/journals/jama/fullartic
le/2768351?resultClick=1

suddetto DH. L'età media era di 56,5 anni (intervallo, 19-84 anni) e 53 (37%) erano donne. Tutti i pazienti arruolati nello studio avevano due tamponi nasofaringei negativi per SARS-CoV-2 più un terzo tampone effettuato in occasione del primo accesso presso il DH, anch'esso negativo. Durante il ricovero, il 72,7% dei partecipanti aveva presentato un quadro di polmonite interstiziale. La durata media della degenza in ospedale è stata di 13,5 giorni; 21 pazienti (15%) hanno necessitato di ventilazione non invasiva e 7 pazienti (5%) di ventilazione meccanica. I pazienti sono stati valutati dopo un lasso di tempo media di 60,3 giorni dall'insorgenza dei primi sintomi di COVID-19; ciononostante, al momento della valutazione in DH, solo 18 (12,6%) pazienti erano completamente privi di qualsiasi sintomo correlato a COVID-19, mentre il 32% lamentava la persistenza di 1 o 2 sintomi e il 55% ne aveva 3 o più. Un peggioramento della qualità della vita (valutato tramite appositi questionari) è stato osservato nel 44,1% dei pazienti. La figura mostra che un'alta percentuale di individui ancora riferiva astenia (53,1%), dispnea (43,4%), dolori articolari (27,3%) e dolore toracico (21,7%). In conclusione, questo studio ha osservato che nei pazienti che si erano ripresi da COVID-19, l'87,4% riferiva la persistenza di almeno 1 sintomo, in particolare affaticamento e dispnea.

			Symptoms	Acute COVID-19 phase   Post-COVID-19 follow-up
			Fatigue	
			Dyspnea	
			Joint pain	
			Chest pain	
			Cough	
			Anosmia	
			Sicca syndrome	
			Rhinitis	
			Red eyes	
			Dysgeusia	
			Headache	
			Sputum production	
			Lack of appetite	
			Sore throat	
			Vertigo	
			Myalgia	
			Diarrhea	
			80	0 60 40 20 0 20 40 60 80
				Patients with symptom, %
			Figure. COVID-19-R	elated Symptoms
Rokadiya S et al	COVID-19: Outcomes of	Outcome di pazienti dimessi	Presso l'ospeda	lle promotore dello studio, sono stati eseguiti 2275
	patients with confirmed	e poi nuovamente ricoverati	esami molecola	ari per SARS-CoV-2 su 1911 pazienti, 729 dei quali
Journal of Infection	COVID-19 re-admitted to	per COVID-19	(38%) sono risu	ıltati positivi e ricoverati, 391 dei quali sono stati
	hospital.		dimessi. Di que	sti, 39 pazienti si sono nuovamente presentati presso
	·		1	rso dell'ospedale e 25 di questi hanno necessitato di
https://www.journalofinf			· ·	media del pazienti ri-ammessi era più alta (73 anni)
ection.com/article/S0163				enti dimessi e non tornati (59 anni); per quanto
-4453(20)30466-			1 .	ribuzione dei sessi, il sesso maschile rappresentava il
7/fulltext			_	•
// runtext				el gruppo di riammissione contro il 58,8% (429/729)
			1	azienti COVID-19. Tra i pazienti riammessi, due
			hanno richiesto	trasferimento in terapia intensiva e tre sono

			deceduti. Nel gruppo dei pazienti nuovamente ricoverati, il tempo medio tra la dimissione e il nuovo ricovero è stato di 10 giorni e 13/25 pazienti (52%) riferivano dispnea. La saturazione di ossigeno mediana (SpO2) alla riammissione era pari a 90,5% e persino inferiore nei pazienti che presentavano dispnea (82%), nonostante la SpO2 mediana al momento della prima dimissione fosse del 94%. Per quanto concerne i markers di flogosi, la PCR è risultata più alta nei pazienti con dispnea (76 mg/L) rispetto al totale dei pazienti riammessi (45 mg/L). Circa il 50% delle radiografie del torace hanno documentato alterazioni compatibili con COVID al momento del nuovo ricovero, il 57,1% nel sottogruppo con dispnea. 6/13 (46%) pazienti con dispnea sono stati sottoposti a TC del torace ed uno di loro ha ricevuto diagnosi di embolia polmonare. In conclusione, questo è uno dei primi studi a esaminare l'outcome di pazienti con COVID-19 nuovamente ricoverati in ospedale. Il dato sulla mortalità e la bassa mediana di SpO2 nei pazienti riammessi è preoccupante e necessitano di approfondimenti per meglio valutare la prognosi dei pazienti con sintomi recrudescenti.
Sigel K et al CID  https://academic.oup.co m/cid/article/doi/10.109 3/cid/ciaa880/5864410	Covid-19 and People with HIV Infection: Outcomes for Hospitalized Patients in New York City	Studio di coorte su pazienti con infezione da HIV e COVID-19	Dei 4.402 pazienti ricoverati in ospedale durante il periodo di studio per COVID-19, 88 (2%) erano affetti da infezione da HIV (PWH). L'età media dei PWH era 61 anni e la maggior parte era di etnia afroamericana (40%) o ispanica / latina (30%). Coerentemente con quanto osservato nelle grandi coorti degli studi su HIV, i PWH presentavano una maggiore percentuale di fumatori (55% contro il 23%; p <0,001) e pazienti comorbidi rispetto a controlli HIV-negativi demograficamente simili, in particolare per quanto riguarda BPCO (10% vs. 3%; p <0,001), cirrosi epatica (6% vs. 2%; p = 0,02) e pregressa malattia oncologica (17% vs. 6%; p = 0,001). I PWH ed i pazienti sieronegativi presentavano una gravità di COVID-19 simile al momento del ricovero, misurata in base alla necessità di

	supplementazione di ossigeno (P = 0,15). Tutti i pazienti con HIV
	ricoverati erano in terapia antiretrovirale ; la maggior parte (78%)
	riceveva regimi basati su inibitori dell'integrasi. La maggioranza
	(58%) dei pazienti presentava una conta di linfociti CD4+ >200
	cellule / mm3. I parametri di laboratorio al momento del ricovero
	erano simili per PWH e pazienti sieronegativi, ad eccezione di un
	valore di ferritina inferiore (p = 0,002) ed una minor conta
	leucocitaria (p = 0,02) nei PWH. Non sono state osservate differenze
	nel tasso di trasferimento in terapia intensiva nella coorte; il 18%
	dei PWH ha richiesto ventilazione meccanica e il 21% è deceduto
	durante il follow-up rispetto al 23% e 20% dei pazienti sieronegativi.
	Gli autori hanno osservato un tasso di mortalità simile nei due
	gruppi (p = 0,94). L'infezione da HIV non è risultata
	significativamente associata a rischio di morte nell'analisi
	multivariata dopo aggiustamento per dati demografici, BPCO, fumo,
	livello di ferritina al basale e conta dei globuli bianchi al basale. In
	analisi univariata, i PWH deceduti avevano meno probabilità di
	essere trattata con inibitori nucleosidici della trascrittasi inversa
	(NRTI) rispetto a quelli che non sono deceduti durante il ricovero
	(89% contro 99%; p = 0,04). Anche i PWH con PCR e procalcitonina
	più elevati al momento del ricovero presentavano un maggior
	rischio di mortalità intraospedaliera (entrambi p <0,008). In
	conclusione, lo studio non ha evidenziato differenze nell'outcome di
	COVID-19 tra pazienti con infezione da HIV e pazienti sieronegativi.
	COVID 13 tra pazienti con iniczione da filv e pazienti sicionegativi.
 1	1



Colores Borrel	COVID 40 Comment Deaths	T	ALC 1 1 2020 1 1 1 1 1 1 1 1 1 1 1 1 1 1 1
Saloner B et al	COVID-19 Cases and Deaths	Incidenza e mortalità di	Al 6 giugno 2020, sono stati registrati 42'107 casi di COVID-19 e 510
JAMA	in Federal and State Prisons	COVID-19 nel sistema	decessi tra 1'295'285 detenuti, con un tasso di incidenza di 3'251
37 (14)7 (		carcerario americano	per 100'000 detenuti. Considerando che il tasso di incidenza di
			COVID-19 all'interno della popolazione generale americana è pari a
			587 casi per 100'000 abitanti, il tasso di incidenza tra i detenuti
https://jamanetwork.co			risulta 5,5 volte superiore. Il tasso di mortalità correlato a COVID-19
m/journals/jama/fullartic			nelle carceri è risultato pari a 39 morti per 100'000 detenuti, un
le/2768249?resultClick=1			valore superiore al tasso di mortalità all'interno della popolazione
			generale statunitense, pari a 29 decessi ogni 100'000 abitanti.
			Tuttavia, gli individui di età pari o superiore a 65 anni costituivano
			una percentuale inferiore della popolazione carceraria rispetto alla
			popolazione statunitense (3% vs 16%, rispettivamente) e
			rappresentavano l'81% dei decessi COVID-19 nella popolazione
			statunitense. Il tasso di mortalità corretto nella popolazione
			carceraria era 3,0 volte superiore a quanto ci si aspetterebbe se le
			distribuzioni di età e sesso degli Stati Uniti e della popolazione
			carceraria fossero uguali. La figura mostra il numero di diagnosi
			quotidiane di COVID-19 nelle carceri statali e federali e nella
			popolazione degli Stati Uniti dal 31 marzo 2020 al 6 giugno 2020. Il
			tasso di incidenza di COVID-19 era inizialmente inferiore nelle
			carceri, ma in data 14 aprile ha poi superato quello della
			popolazione generale americana. Il tasso medio di crescita
			giornaliera dei casi è risultato pari all'8,3% al giorno nelle carceri e
			del 3,4% al giorno nella popolazione degli Stati Uniti. In conclusione,
			lo studio mostra l'elevata prevalenza di COVID-19 nelle carceri
			statunitensi, confermando la necessità di monitorare le strutture
			carcerarie, che possono rappresentare zone di facile diffusione per
			COVID-19.

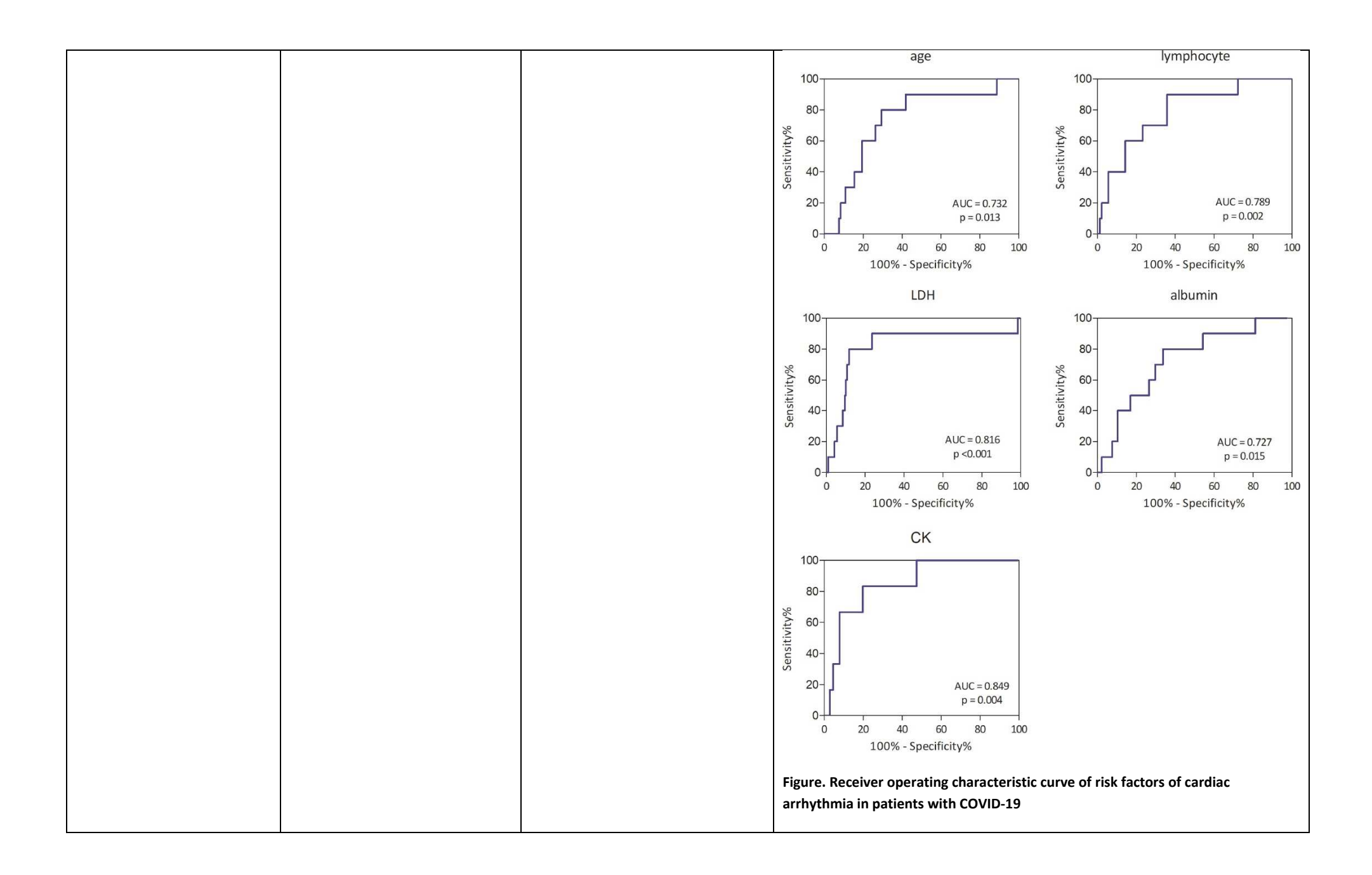
Khalil A et al	Change in the Incidence of Stillbirth and Preterm Delivery During the COVID-19 Pandemic	Cambi nell'incidenza di morte endouterina fetale durante l'epidemia di COVID-19	Ci sono state 1681 nascite (1631 parti singoli, 22 gemellari e 2 trigemellari) nel periodo prepandemico e 1718 nascite (1666 parti singoli e 26 parti gemellari) nel periodo pandemico. Ci sono state meno donne nullipare nel periodo pandemico rispetto al periodo
https://jamanetwork.co m/journals/jama/fullartic le/2768389			prepandemico (45,6% vs 52,2%; P <0,001) e meno donne con ipertensione (3,7% vs 5,7%; P = 0,005) nel periodo pandemico rispetto al periodo prepandemico. L'incidenza di morte endouterina fetale (MEF) è risultata significativamente più alta durante il periodo pandemico (n = 16 [9.31 per 1000 nascite]; nessuna associata a COVID-19) rispetto al periodo prepandemico (n = 4 [2,38 per 1000 nascite]), per una differenza di 6,93 per 1000 nascite (P = 0,01). L'incidenza di MEF rimaneva significativamente più elevata anche escludendo gli aborti tardivi per anomalie fetali (durante il periodo pandemico 6,98 per 1000 nascite vs 1,19 in il periodo prepandemico; differenza, 5,79 [IC 95%, 1,54-10,1]; P = .01). Non sono state osservate differenze significative nel numero di parti

			pretermine, nei trasferimenti in terapie intensive neonatali e nella percentuale di parti cesarei tra i due periodi. Durante il periodo pandemico, 19 donne con COVID-19 sono state ricoverate nel reparto maternità dell'ospedale sito dello studio : nessuna delle donne in gravidanza che hanno avuto un parto prematuro presentava sintomi indicativi di COVID-19, né gli esami post mortem o l'esame istologico placentare hanno suggerito un'infezione da SARS-CoV-2. In conclusione, questo studio dimostra un aumento del tasso di MEF durante il periodo pandemico.
Torres JP et al CID  https://academic.oup.co m/cid/article/doi/10.109 3/cid/ciaa955/5869860	SARS-CoV-2 antibody prevalence in blood in a large school community subject to a Covid-19 outbreak: a cross-sectional study	Studio di sieroprevalenza in una scuola di Santiago, Cile	All'interno delle analisi sono stati inseriti 1.009 studenti, che rappresentano il 38% dell'intero corpo studentesco, e 235 membri del personale, i quali rappresentavano il 74% dell'intero personale scolastico. I tassi di positività anticorpale sono risultati pari al 9,9% (IC 95%: 8,6-11,5) per gli studenti e 16,6% (IC 95%: 12,1- 21.9) per il personale scolastico. Tra gli studenti, i bambini con sierologia positiva erano più giovani e avevano maggiori probabilità di aver riferito un contatto con uno o più casi confermati, rispetto ai bambini sieronegativi. Complessivamente 490/1.009 (49%) studenti e 171/235 (73%) del personale hanno dichiarato la presenza di uno o più sintomi dall'inizio dell'epidemia. Nei bambini, dolori addominali e febbre sono risultati significativamente più comuni tra i soggetti sieropositivi (21% e 17%) rispetto ai bambini con sierologia negativa (9% e 6%, rispettivamente). Anche rimuovendo dall'analisi i bambini con un precedente tampone positivo, queste differenze rimangono significative (22% e 14% vs 9% e 5%). Tra il personale scolastico, gli individui con anticorpi positivi hanno riportato una frequenza significativamente maggiore di astenia (54% contro 30%), dolore addominale (21% contro 7%), febbre (36% contro 7%), mialgia (46% contro 24 %), dispnea (26% contro 6%), dolore toracico (33% contro 8%) e iposmia (31% contro 5%). Dopo

aver rimosso gli individui con tampone positivo, queste differenze rimangono significative solo per la febbre e il dolore toracico (rispettivamente 14% contro 6% e 25% contro 7%). Tra gli individui con sierologia positiva, il 40% (IC 95%: 30-50%) degli studenti e il 18% (IC 95%: 8-34%) del personale non ha riportato sintomi (P = 0,01). Gli studenti positivi agli anticorpi erano distribuiti in tutte le classi, ma l'incidenza calava nelle classi superiori. Simile andamento è stato osservato tra gli insegnanti. I bambini positivi agli anticorpi hanno avuto in media 1,8 contatti con un caso confermato di COVID-19, mentre i bambini sieronegativi hanno avuto in medica 1,4 contatti (P = 0,01). I risultati confermano che maggiore è il numero di contatti, maggiore è la probabilità che il bambino presenti una sierologia positiva (OR: 1,4; P = 0,05). Il contatto COVID-19 più comune per i bambini con sierologia positiva era rappresentato da un insegnante (21% contro 12% dei sieronegativi; P = 0,022), un familiare (11% contro 2%; P < 0,001), un compagno di classe (9% contro 4%; P = 0,03), oppure una tata (4% vs. 0,1%; P <0,001). Le fonti con la maggiore probabilità di contagio per gli studenti sono quindi risultate: una tata (OR: 27.9), un familiare (OR: 5.4), un compagno di classe (OR: 3.2) e un insegnante (OR: 2.2). In conclusione, in questo studio effettuato in una scuola cilena, i tassi di positività anticorpale sono risultati pari al 10% e 17% tra studenti e personale scolastico, rispettivamente. Gli adulti, principalmente attraverso il contatto adulto-adulto, sembrano essere stati i più coinvolti, a giudizio degli autori.

			Daily cases  12  10  10  10  10  10  10  10  10  10
Liu Q et al  Journal of Infection <a href="https://www.journalofinf">https://www.journalofinf</a>	Clinical characteristics of COVID-19 patients with complication of cardiac arrhythmia	Caratteristiche cliniche di pazienti COVID-19 con episodi di aritmia	Un totale di 234 pazienti con COVID-19 sono stati inclusi nello studio; il 4,3% (10/234) dei quali ha sviluppato aritmia nel corso del follow-up. L'età media dei 234 pazienti era di 58 anni e l'età media dei pazienti con aritmia cardiaca era di 69 anni. Dei 10 pazienti con aritmia, solo 3 avevano pre-esistente ipertensione arteriosa e 2 avevano preesistenti malattie coronariche. Sono stati analizzati,
ection.com/article/S0163 -4453(20)30470- 9/fulltext			mediante curve ROC, i possibili fattori predittori di aritmia cardiaca. Il valore di cutoff ottimale dell'età era di 64,5 anni, con un'area sotto la curva ROC (AUC) di 0,732 (IC 95%: 0,584-0,880), per una sensibilità dell'80% ed una specificità del 68,3%. Il valore di cutoff ottimale della conta linfocitaria era 0,915 × 10 <sup>9</sup> /L, con un AUC di 0,789 (IC 95%: 0,655-0,923), per una sensibilità del 90,0% e una specificità del 61,9%. Il valore di cutoff ottimale dell'albumina era di 35,0 g/L, con una AUC di 0,727 (IC 95%: 0,578-0,875), per una

	sensibilità dell'80% ed una specificità del 66,1%. Il valore di cutoff
	ottimale di LDH era 401,5 U/L, con un AUC di 0,816 (IC 95%: 0,644-
	0,988), per una sensibilità dell'80% ed una specificità dell'88,3%. Il
	valore di cutoff ottimale della creatina chinasi (CK) era 101,5 U/L,
	con un AUC di 0,849 (IC 95%: 0,720-0,978), per una sensibilità
	dell'83,3% ed una specificità dell'80,1%. Pertanto, tra i parametri
	ematochimici, il valore delle CK al momento del ricovero si è
	dimostrato il più adatto nel prevedere l'aritmia cardiaca tra i
	pazienti con COVID-19, seguito dal valore di LDH. I risultati hanno
	mostrato che un'età >64,5 anni (OR 8,62, IC 95%: 1,79-41,63), una
	conta linfocitria <0,915 × 10 <sup>9</sup> / L (OR 12,13, IC 95%: 1,51-97,35), un
	valore di albumina <35,0 g / L (OR 7,15 , IC al 95%: 1,48-34,49), un
	valore di LDH >401,5 U / L (OR 30,1, IC al 95%: 6,05-149,69, p
	<0,001) ed un valore di CK >101,5 U / L (OR 20,0, IC al 95%: 2,26-
	176,7 ) sono risultati fattori di rischio di aritmia. Questo studio, a
	giudizio degli autori, potrebbe suggerire che le artmie cardiache
	siano una conseguenza del COVID-19 stesso.



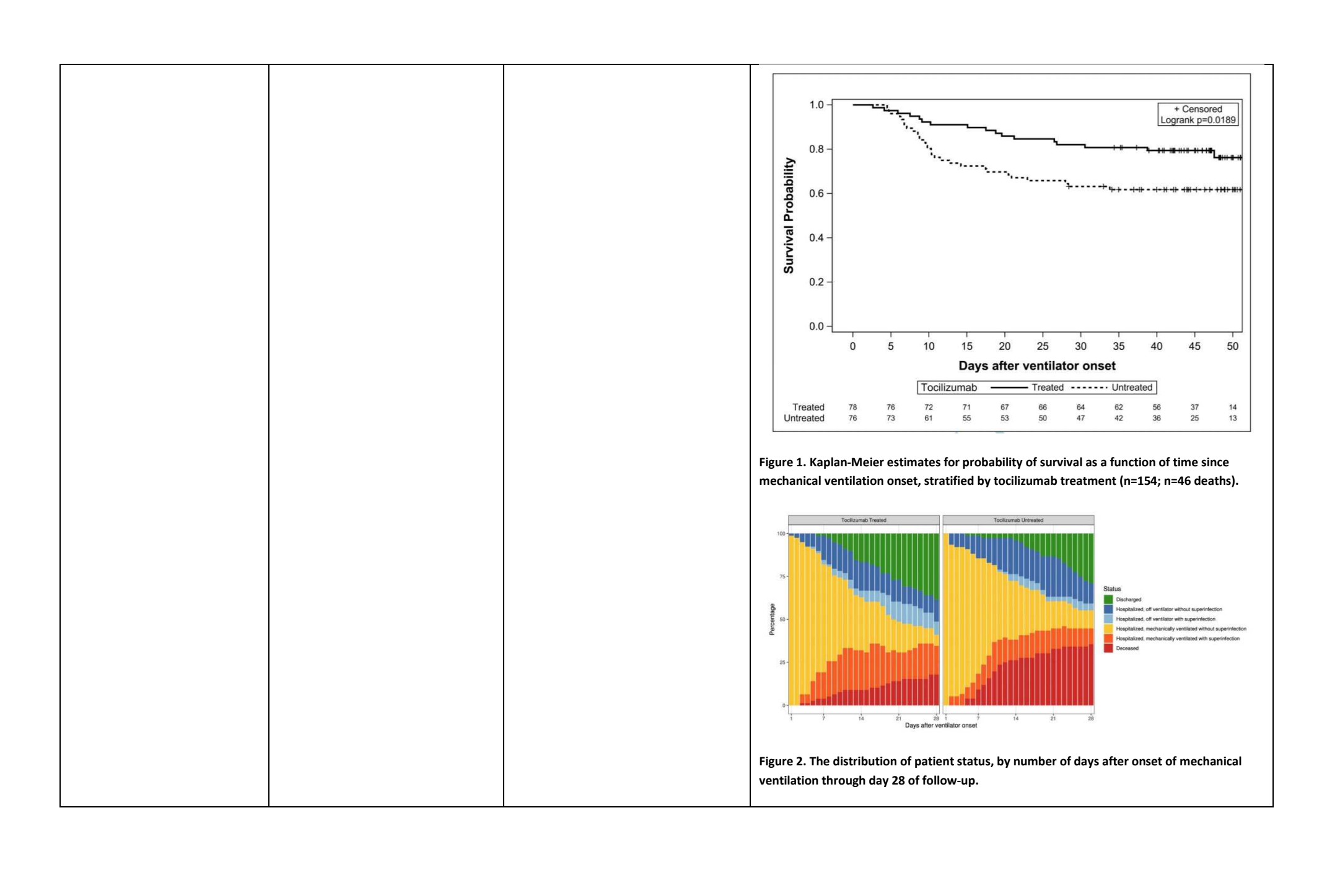
		,	
Rossotti R et al	SAFETY AND EFFICACY OF	Efficacia e sicurezza di	Sono stati arruollati un totale di 222 pazienti: 74 pazienti trattati
lamal of Infortion	ANTI-IL6-RECEPTOR	tocilizumab in una coorte di	con tocilizumab (TCZ) e 148 controlli trattati con standard of care
Journal of Infection	TOCILIZUMAB USE IN SEVERE	pazienti di Milano	(SOC, rappresentato da idrossiclorochina più lopinavir/ritonavir o
	AND CRITICAL PATIENTS		remdesivir). I pazienti erano principalmente di sesso maschile
	AFFECTED BY CORONAVIRUS		(81,5%), di etnia caucasica (82,0%) e con un'età media di 59 anni. La
https://www.journalofinf	DISEASE 2019: A		funzionalità respiratoria era gravemente compromessa, come
ection.com/article/S0163	COMPARATIVE ANALYSIS		emerge da un rapporto p/F mediano di 180 mmHg. Nell'analisi di
-4453(20)30467-			sopravvivenza globale la somministrazione di TCZ ha mostrato un
9/fulltext			beneficio rispetto a SOC, con un Hazard Ratio (HR) di 0,499 (IC 95%
			0,262-0,952, p = 0,035) secondo il modello di regressione di Cox. Nei
			soggetti con patologie gravi, TCZ non sembra avere alcun effetto
			benefico, mentre è risultato correlato con un significativo
			miglioramento in pazienti critici. Il numero di dosi di TCZ non
			sembra aver avuto un impatto sulla sopravvivenza (HR 0,748, IC
			95% 0,201–2,785, p = 0,665). Da notare che la somministrazione di
			TCZ è stata associata a una degenza ospedaliera più lunga con una
			HR di 1.658 (IC 95% 1.088–2.524, p = 0.019). Dopo la
			somministrazione di TCZ, come previsto, i valori di PCR sono
			diminuiti in modo significativo mentre la conta di leucociti, di
			linfociti e delle piastrine sono aumentate. Inoltre, è stato osservato
			un significativo aumento di ALT passando da un valore basale di 37
			UI / L a 110 UI / L entro il giorno 7. La funzionalità respiratoria ha
			mostrato un andamento peculiare : nei pazienti sottoposti a
			intubazione immediatamente dopo il ricovero, TCZ ha avuto un
			effetto benefico; al contrario, i soggetti che hanno ricevuto TCZ al di
			fuori della terapia intensiva hanno necessitato di ventilazione
			meccanica dopo la somministrazione (Log Rank 12.659 con p
			<0,001). Alla fine del follow-up, un terzo dei 74 soggetti trattati
			(35,1%) ha mostrato un peggioramento delle condizioni cliniche (in
			termini di necessirà di ventilazione o morte), mentre la maggioranza
			(64,9%) è rimasta stazionaria o è migliorata. Per quanto concerne la

sicurezza del farmaco, sono state osservate 27 complicanze infettive in 24 pazienti (32,4%). La maggior parte (21 su 27) è stata registrata in pazienti in terapia intensiva. In conclusione, questo studio conferma la potenziale efficacia di TCZ nel trattamento di COVID-19, specialmente in pazienti critici. Tuttavia, gli autori suggeriscono di usarlo con cautela a causa di eventi avversi correlati al farmaco, possibile peggioramento respiratorio paradosso transitorio e infezioni batteriche. A. Survival in Overall Study Population B. Survival Stratified according to Disease Severity Log Rank 5.758 Log Rank 19.297 p=0.016 SOC in critical disease
SOC in severe disease
TCZ in critical disease
TCZ in severe disease SOC TCZ Time (days Time (days) 0.499 0.035 Critical Disease 1.420 0.029 0.235 1.195 0.024 Figure 1. Kaplan Meier probability curves and Cox regression models for survival in the overall population (A) and stratified according to disease severity (B).

			A. Hospital discharge in Overall Study Population	<b>B.</b> Hospital discharge Stratified according to Disease Severity
			Log Rank 8.030 p-0.005  Log Rank 8.030 p-0.005  Time (days)  Factor IIR 95% CI p TCZ 0.558 0.367 0.859 0.007	SOC in critical disease   SOC in verte disease   TTZ in critical dis
			in the overall population (A) and stratified a	d Cox regression models for hospital discharge ccording to disease severity (B).
Shaigany S et al	An adult with Kawasaki like	Case report su caso di	Lo studio riporta il caso di un uor	no ricoverato presso il New York
	Multisystem inflammatory	malattia infiammatoria	University Langone Health a New	York, USA, con una sindrome
The Lancet	syndrome associated with	multisistemica in un adulto	infiammatoria multisistemica nel	contesto di COVID-19, similmente
	COVID-19		a quanto finora riportato in pazie	enti pediatrici. Il paziente è un
			uomo ispanico, di 45 anni, senza	alcuna comorbidità nota
https://www.thelancet.c			presentatosi al pronto soccorso o	con una storia di 6 giorni di febbre,
om/journals/lancet/articl			mal di gola, diarrea, dolore agli a	rti inferiori bilateralmente,
<u>e/PIIS0140-</u>			congiuntivite ed esantema diffus	o, dopo aver assistito sua moglie
6736(20)31526-9/fulltext			per COVID-19 due settimane prir	na. L'esame molecolare per SARS-
			CoV-2 è risultato positivo e la rac	liografia del torace mostrava una
			polmonite interstiziale bilaterale	•
			momento del ricovero il paziente	e si presentava febbrile
				ipoteso, tachicardico con episodi di
			fibrillazione atriale a rapida rispo	
			ecocardiogramma transtoracico	, ,
			della parete ventricolare sinistra	
			_	ni/sintomi del paziente (febbre da
			più di 5 giorni, eritema cutaneo,	congiuntivite bilaterale non
			essudativa, eritema o screpolatu	re delle labbra, linfoadenopatia

			cervicale unilaterale >1,5 cm di diametro), egli rientrava nei criteri per la diagnosi di malattia di Kawasaki, per cui veniva diagnosticata la sindrome infiammatoria multisistemica associata a COVID-19 (MIS-C). Il paziente è stato sottoposto a terapia con eparina a basso peso molecolare, immunoglobuline endovena (2 g/kg) per 2 giorni e una singola dose endovenosa di tocilizumab (400 mg). In seguito alla somministrazione di immunoglobuline e tocilizumab, il paziente ha mostrato miglioramento clinico con defervescenza, risoluzione di tachicardia e tachipnea, miglioramento dell'eruzione cutanea e della congiuntivite e riduzione dei markers infiammatori. E' stato dimesso 9 giorni dopo il ricovero. Alla visita ambulatoriale di followup, si è documentata completa risoluzione del rash cutaneo e normalizzazione dei reperti ecocardiografici. In conclusione, il lavoro riporta uno dei primi casi osservati di MIS-C in un paziente adulto, richiamando la necessità da parte dei clinici di considerare
Somers EC et al	Tocilizumab for treatment of	Efficacia e sicurezza di	anche questa possibile diagnosi in pazienti con COVID-19.  Lo studio ha incluso 154 pazienti in ventilazione meccanica: 78
https://academic.oup.co m/cid/article/doi/10.109 3/cid/ciaa954/5870306	mechanically ventilated patients with COVID-19	tocilizumab in pazienti con COVID-19 in ventilazione meccanica	trattati con tocilizumab e 76 trattati con lo standard of care (nel lavoro viene riportata la sola idrossiclorochina come terapia standard adoperata nella struttura sede dello studio all'epoca dello studio, salvo poi l'introduzione di remdesivir o steroidi a discrezione dei curanti). Il tempo di follow-up mediano è stato di 47 giorni. I pazienti trattati con tocilizumab erano più giovani (media 55 contro 60 anni; p = 0,05) e con meno probabilità di avere una malattia
			polmonare cronica (10% contro 28%; p = 0,006) o renale cronica (35% vs. 49%; p = 0,08). I pazienti trattati con tocilizumab presentavano inoltre un valore di D-dimero inferiore (mediano 2,4 contro 6,5 mg / dL; p = 0,005) e concentrazioni sieriche di albumina più alte (media 3,5 vs. 3,1 g / dL; p <0,001); infine il rapporto mediano PaO2 / FiO2 era più basso nel gruppo tocilizumab

(mediana 155 vs 198; p = 0,001). La probabilità di sopravvivenza è
risultata significativamente più alta tra i pazienti trattati con
tocilizumab rispetto ai controlli (p = 0,0189). All'analisi di Cox,
tocilizumab è stato associato a un minor rischio di morte, dopo aver
corretto per i dati demografici [HR 0,54 (IC 95% 0,29 - 1,00)]. Anche
il tasso di mortalità a 28 giorni era inferiore per i pazienti trattati
con tocilizumab (18% vs. 36%; p = 0,01). Per quanto concerne la
sicurezza del trattamento, i pazienti che hanno ricevuto tocilizumab
avevano una probabilità più che doppia di sviluppare una
sovrainfezione batterica rispetto ai controlli (54% vs. 26%; p
<0,001), dovuta in primis ad un grande aumento delle polmoniti
associate alla ventilazione meccanica (45% vs. 20%; p <0,001). I tassi
di mortalità a 28 giorni erano simili tra i pazienti trattati con
tocilizumab che avevano una sovrainfezione batterica e quelli che
non la avevano [8/37 (22%) contro 6/41 (15%); p = 0,42]. Durante il
periodo di studio, il 56% dei pazienti che hanno ricevuto tocilizumab
è stato dimesso vivo rispetto al 40% dei pazienti non trattati (p =
0,04). In conclusione, in questo studio osservazionale su pazienti
con forme molto severe di COVID-19 che necessitano di meccanica
la ventilazione, il tocilizumab è stato associato in modo
indipendente ad una migliore sopravvivenza. È importante
sottolineare che, tuttavia, tocilizumab è stato anche associato ad
una maggiore incidenza di polmoniti batteriche secondarie.



Kirschenbaum D et al	Inflammatory olfactory	Reperti autoptici di	Lo studio riporta due casi di neuropatia olfattiva diagnosticata
	neuropathy in two patients	neuropatia olfattiva in	all'esame autoptico in pazienti con infezione da SARS-CoV-2. Il
The Lancet	with COVID-19	pazienti deceduti per	paziente 1, un uomo di 70 anni, e il paziente 2, un uomo di 79 anni,
		COVID-19	sono infatti risultati entrambi positivi all'esame molecolare per
			SARS-CoV-2. Il paziente 1 era un soggetto trapiantato renale con
https://www.thelancet.c			malattia coronarica e ipertensione arteriosa ; egli ha sviluppato
om/journals/lancet/articl			un'insufficienza respiratoria progressiva dovuta alla polmonite da
e/PIIS0140-			COVID-19 e ha necessitato di ventilazione meccanica ed è stato
6736(20)31525-7/fulltext			trattato con idrossiclorochina. Al paziente 2 era stata
			precedentemente diagnosticata una grave ipertensione polmonare
			ed è stato ricoverato con febbre, tosse e dispnea ingravescente,
			nonché perdita di gusto e olfatto. Anche lui è stato trattato con
			idrossiclorochina; tuttavia, ha rifiutato ogni trattamento invasivo. Il
			paziente 1 è deceduto 8 giorni dopo il ricovero, mentre il paziente 2
			6 giorni dopo. L'analisi istologica post mortem dell'epitelio olfattivo
			in entrambi i pazienti ha mostrato importanti infiltrati leucocitari
			nella lamina propria e atrofia focale della mucosa. Gli autori hanno
			riscontrato una leggera predominanza di cellule T CD3+ rispetto ai
			linfociti B CD20+. Le fibre nervose olfattive nella lamina propria
			erano negative per la proteina base della mielina, pur presentando
			segni diffusi di danno assonale. I leucociti CD45+ diffusi erano
			indicativi di una neuropatia infiammatoria; gli infiltrati
			comprendevano anche linfociti T, sia CD4+ che CD8+. In entrambi i
			pazienti, le vie olfattive hanno mostrato pochi ed isolati infiltrati
			CD45+. Entrambi gli encefali mostravano infiltrati leucocitari
			perivascolari, prevalentemente nei gangli della base, e microtrombi
			intravascolari. In conclusione, gli autori ipotizzano che il danno
			indotto da SARS-CoV-2 potrebbe essere mediato dall'ingresso virale
			attraverso l'enzima ACE2 e la serin proteasi 2, che sono espressi in
			cellule non neurali dell'epitelio olfattivo. Non è chiaro se la
			neuropatia infiammatoria osservata sia il risultato di un danno virale

			diretto o sia mediata da un danno alle cellule non neurali di supporto.
Sachs JD et al	The Lancet COVID-19	Statement della Lancet	La pandemia di COVID-19 ha, inequivocabilmente, portato a radicali
The Lancet	Commission	COVID-19 commission	cambiamenti nella vita di miliardi di persone. Ad aprile 2020, oltre la
THE Lancet			metà della popolazione mondiale risiedeva in paesi che avevano
			introdotto misure di lockdown, con conseguenze dirompenti su
https://www.thelancet.c			individui, aziende e interi settori della società, come ad esempio il
om/pdfs/journals/lancet/			turismo. Il Fondo Monetario Internazionale (FMI) ha stimato una riduzione del prodotto interno lordo globale tra –3% e –4,9%. A ciò
PIIS0140-6736(20)31494-			bisogna aggiungere che trattamenti efficaci per COVID-19 e/o
X.pdf			vaccini specifici necessitano ancora di diversi mesi per essere
			sviluppati. Al fine di tenere alta l'attenzione su COVID-19 e per
			tentare di velocizzare il processo di ricerca, è stata creata la « Lancet
			COVID-19 commission ». Le sfide che questa commissione si
			propone di affrontare sono quattro : la prima e più impegnativa
			sfida è quella di debellare la pandemia il più rapidamente possibile.
			La seconda è quella di venire incontro alle popolazioni più
			vulnerabili come i poveri, le minoranze e gli anziani. La terza è
			quella di impedire che l'emergenza sanitaria pubblica si trasformi in
			una fulminante crisi finanziaria per governi, imprese e famiglie. La
			quarta sfida è quella di iniziare a progettare il mondo « post-
			COVID », con sistemi sanitari più solidi ed economie che si evolvano sulla base di uno sviluppo sostenibile e inclusivo. La commissione
			sarà composta da figure eminenti nel mondo della ricerca scientifica
			così come della politica e della finanza e si impegna alla trasparenza,
			progettando di rilasciare periodici report (il primo è previsto per
			Settembre 2020, in concomitanza con l'assemblea generale
			dell'ONU). La commissione è ottimista che questa pandemia possa
			essere controllata attraverso strategie di cooperazione innovative,

	eque e globali, che devono essere intraprese congiuntamente da tutti i governi, con il fermo impegno di non lasciare indietro
	nessuno.